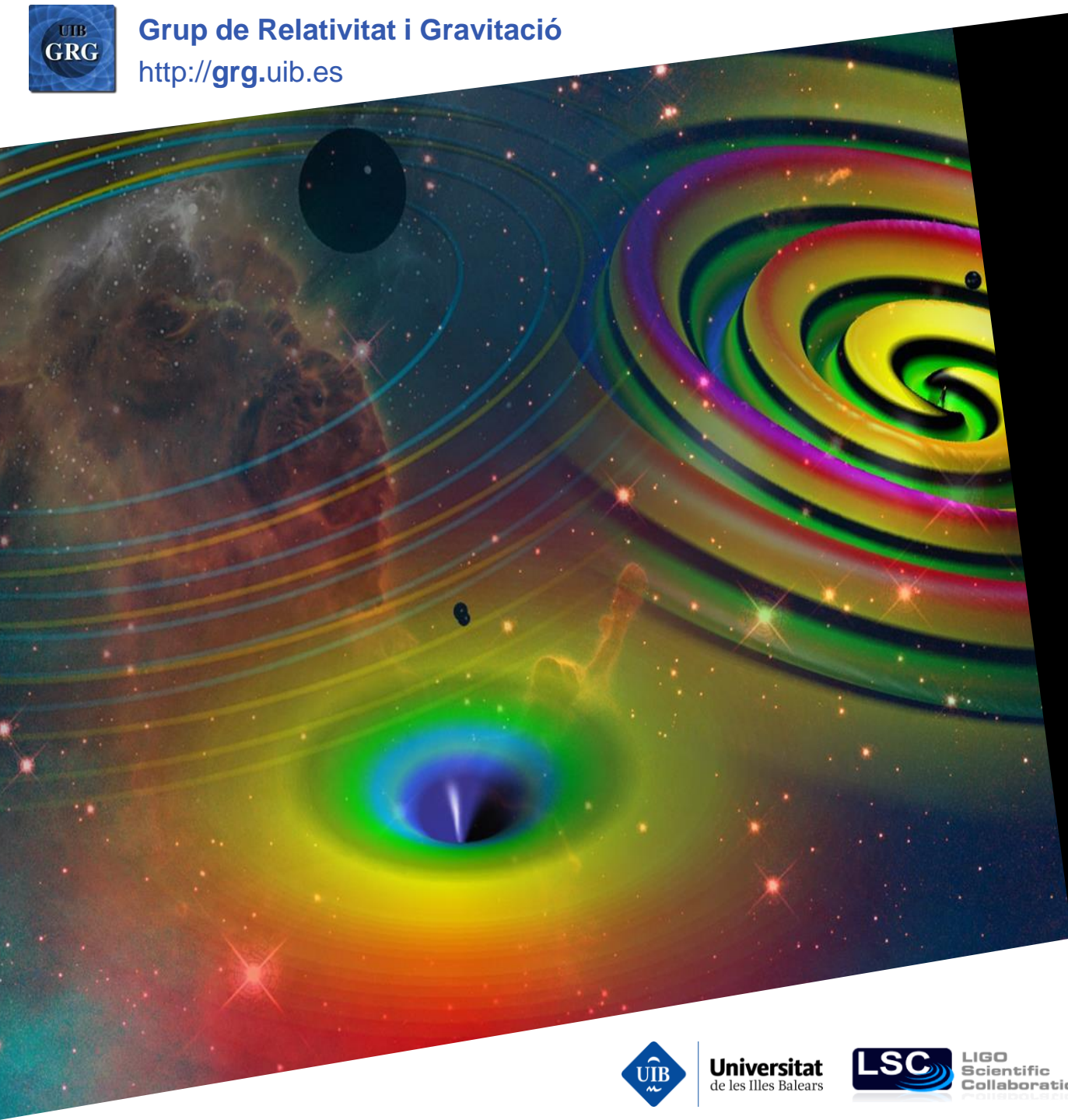




Grup de Relativitat i Gravitació

<http://grg.uib.es>



Las ondas gravitacionales: las nuevas mensajeras del universo

Alícia M. Sintes

Dept. Física - IAC3
UIB & IEEC



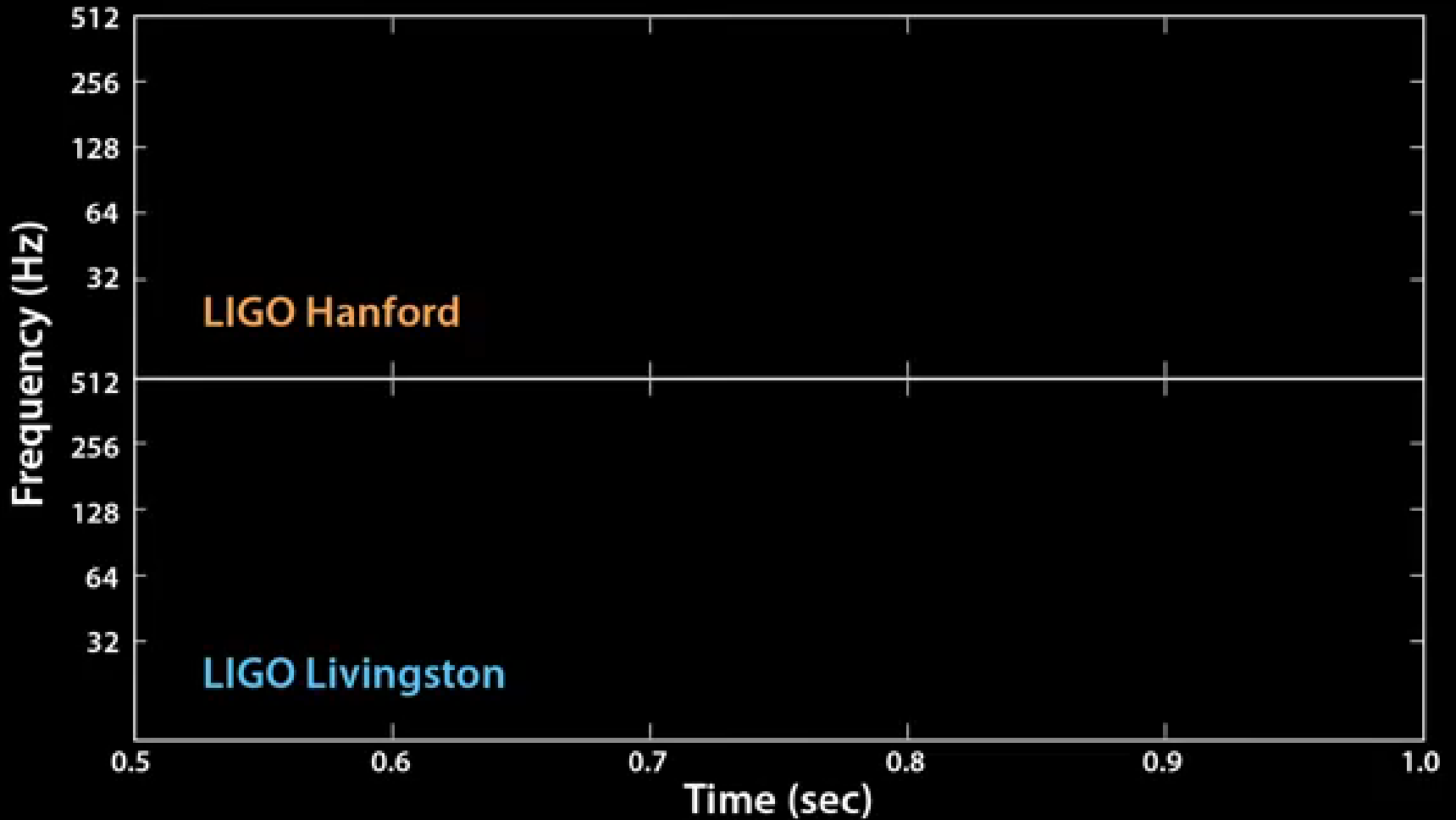
Universitat
de les Illes Balears

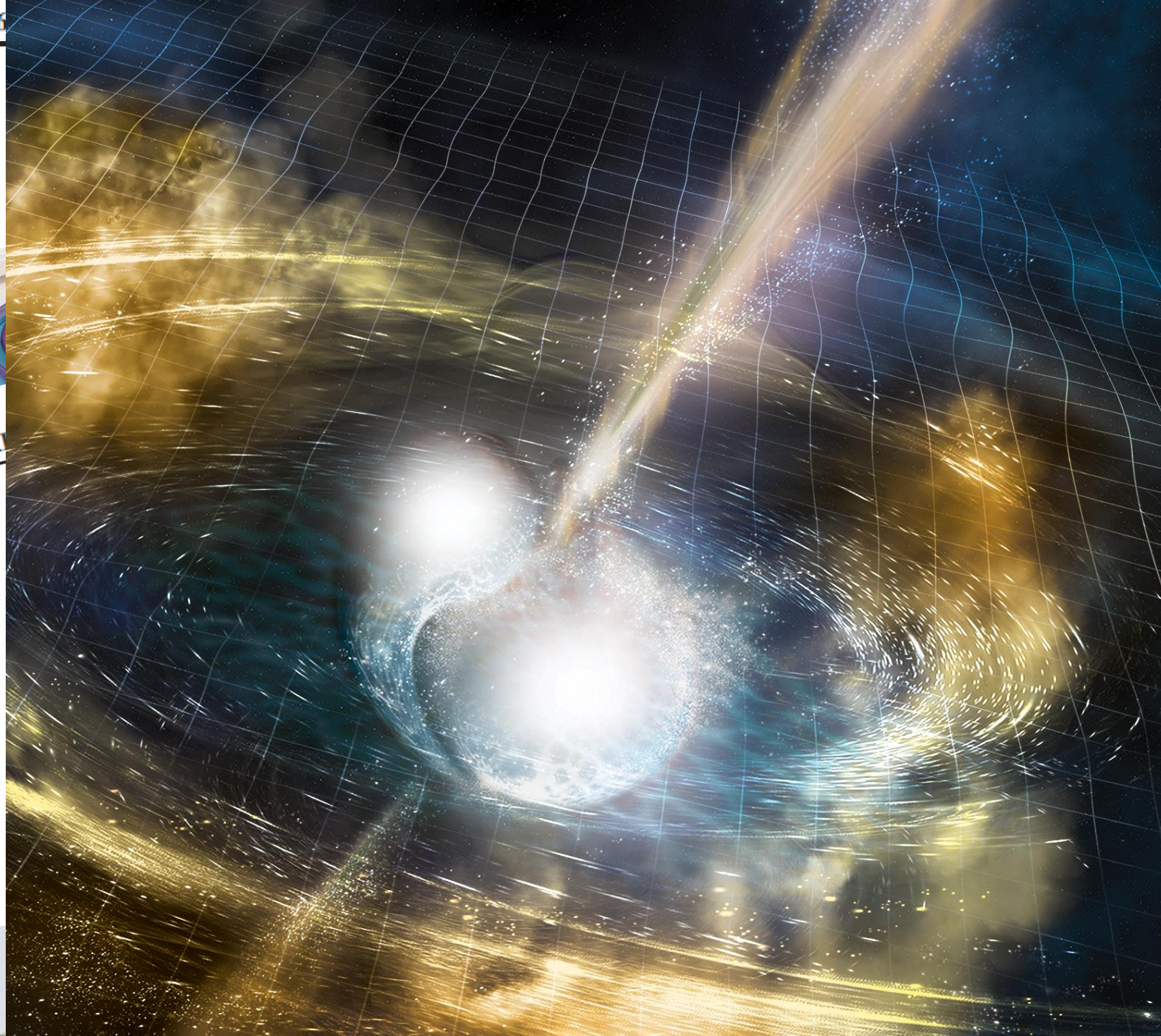


LIGO
Scientific
Collaboration



GW150914: la primera observación de onda gravitacional





GW150914 Datos

primer descubrimiento directo de ondas gravitacionales

primera observación directa de agujeros negros

primera observación directa de una fusión de agujeros negros

primer descubrimiento de agujeros negros de masa estelar > 30 masas solares

primer descubrimiento de agujeros negros de masa estelar > 60 masas solares

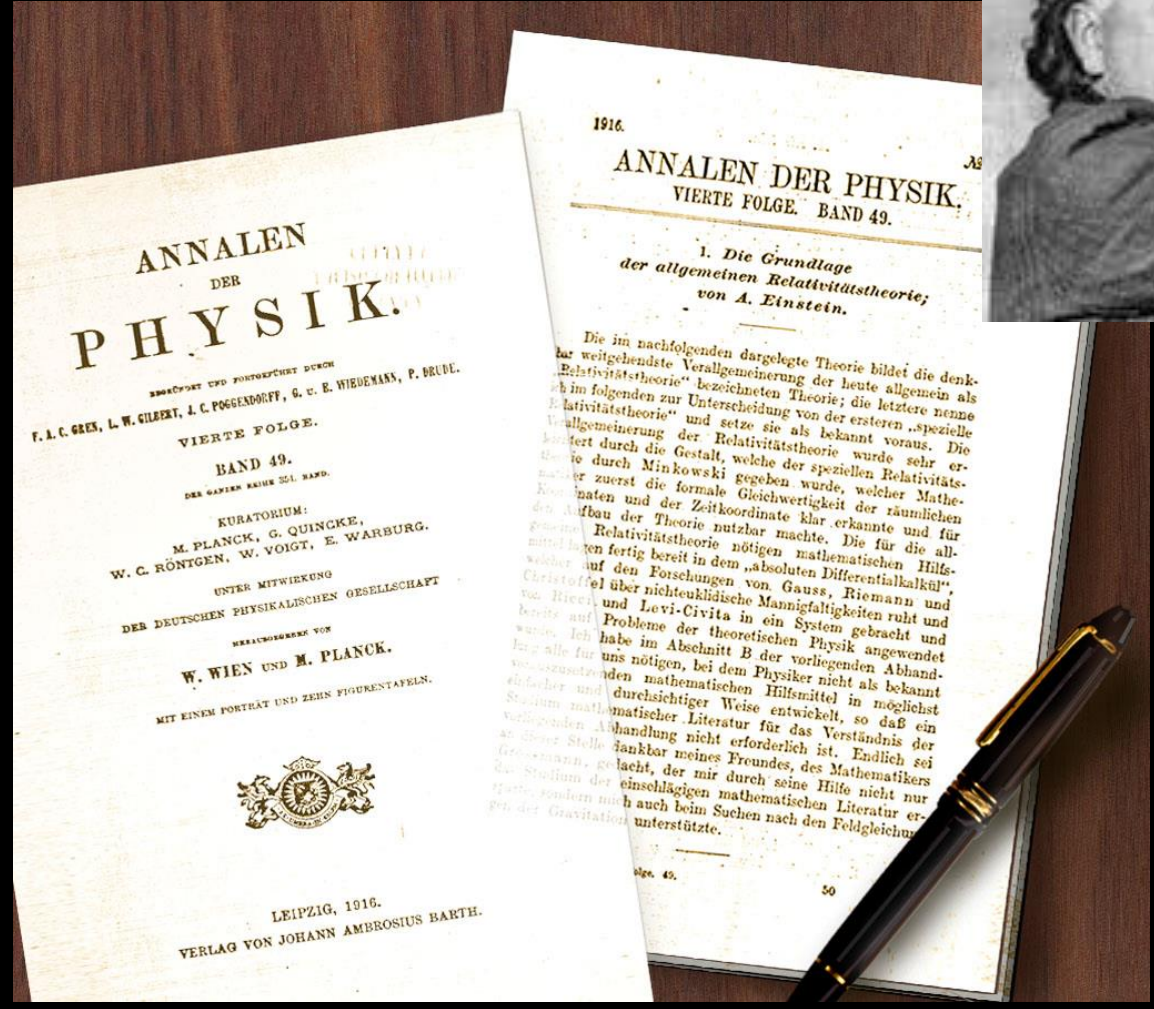
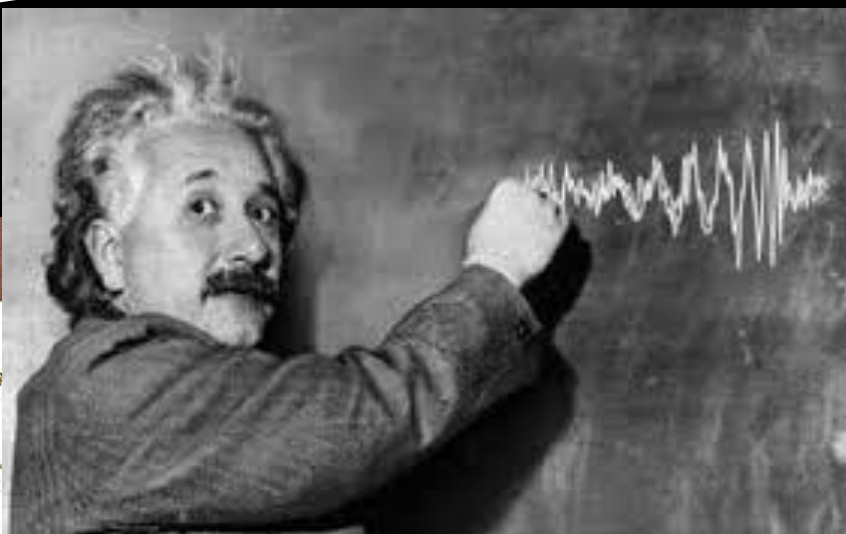
primera prueba de la relatividad general en campo fuerte

first direct detection of gravitational waves (GW) and first direct observation of a black hole binary

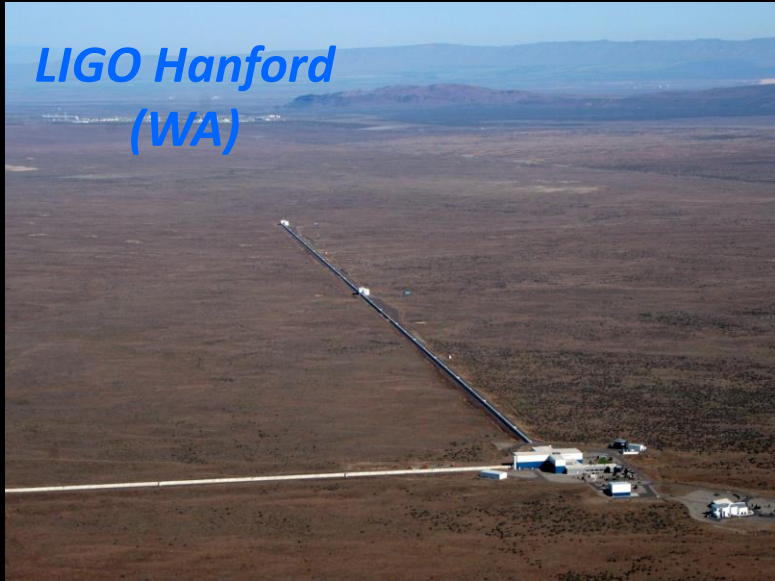
observed by	LIGO L1, H1	duration from 30 Hz	~ 200 ms
source type	black hole (BH) binary	# cycles from 30 Hz	~10
date	14 Sept 2015	peak GW strain	1×10^{-21}
time	09:50:45 UTC	peak displacement of interferometers arms	± 0.002 fm
likely distance	0.75 to 1.9 Gly 230 to 570 Mpc	frequency/wavelength at peak GW strain	150 Hz, 2000 km
redshift	0.054 to 0.136	peak speed of BHs	~ 0.6 c
signal-to-noise ratio	24	peak GW luminosity	3.6×10^{56} erg s ⁻¹
false alarm prob.	< 1 in 5 million	radiated GW energy	2.5-3.5 M _⊙
false alarm rate	< 1 in 200,000 yr	remnant ringdown freq.	~ 250 Hz
Source Masses M _⊙		remnant damping time	~ 4 ms
total mass	60 to 70	remnant size, area	180 km, 3.5×10^{15} km ²
primary BH	32 to 41	consistent with general relativity?	passes all tests performed
secondary BH	25 to 33	graviton mass bound	< 1.2×10^{-22} eV
remnant BH	58 to 67	coalescence rate of binary black holes	2 to 400 Gpc ⁻³ yr ⁻¹
mass ratio	0.6 to 1	online trigger latency	~ 3 min
primary BH spin	< 0.7	# offline analysis pipelines	5
secondary BH spin	< 0.9	CPU hours consumed	~ 50 million (=20,000 PCs run for 100 days)
remnant BH spin	0.57 to 0.72	papers on Feb 11, 2016	13
signal arrival time delay	arrived in L1 7 ms before H1	# researchers	~1000, 80 institutions in 15 countries
likely sky position	Southern Hemisphere		
likely orientation resolved to	face-on/off ~600 sq. deg.		

Detector noise introduces errors in measurement. Parameter ranges correspond to 90% credible bounds.
 Acronyms: L1=LIGO Livingston, H1=LIGO Hanford; Gly=giga lightyear= 9.46×10^{12} km; Mpc=mega parsec=3.2 million lightyear, Gpc= 10^3 Mpc, fm=femtometer= 10^{-15} m, M_⊙=1 solar mass= 2×10^{30} kg

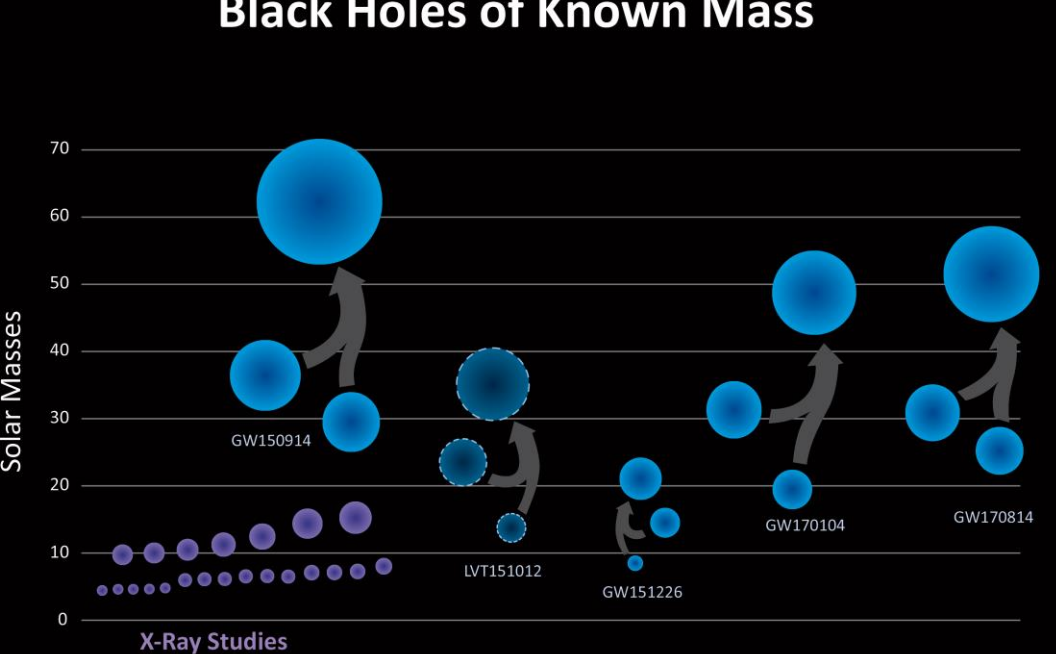
Un siglo de Relatividad General

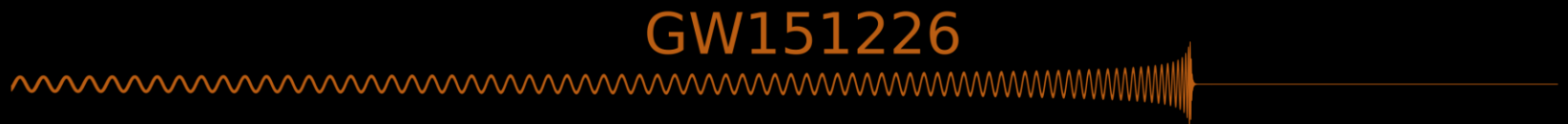


Karl Schwarzschild



Black Holes of Known Mass





0 sec.

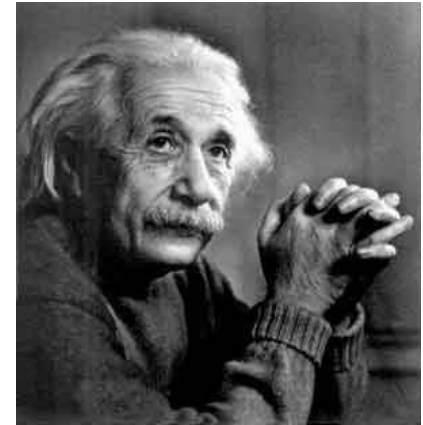
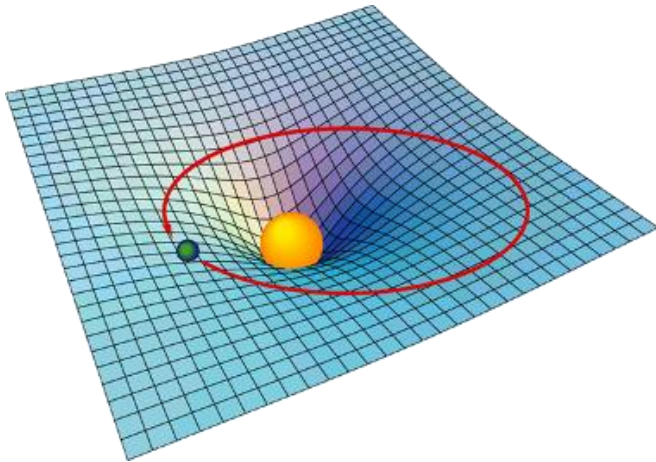
1 sec.

2 sec.

time observable by LIGO-Virgo

Olas en el océano cósmico:

De acuerdo con la teoría de Einstein, la gravedad no es una fuerza sino que está relacionada con la curvatura del espacio-tiempo.



*“El espacio-tiempo le dice a la materia cómo moverse,
la materia le dice al espacio-tiempo cómo curvarse.”*

John Wheeler

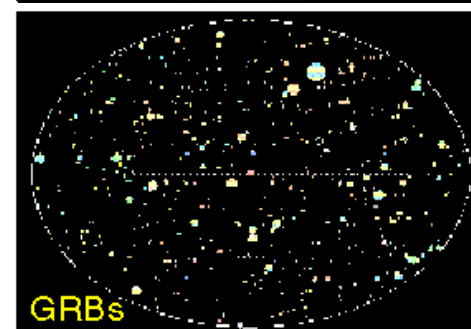
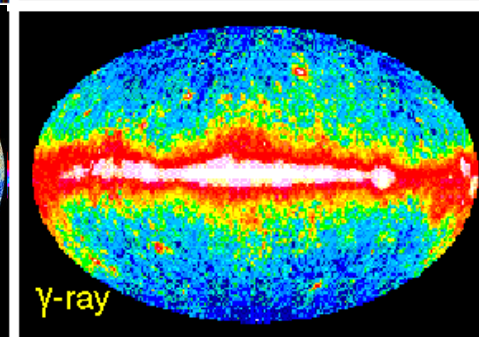
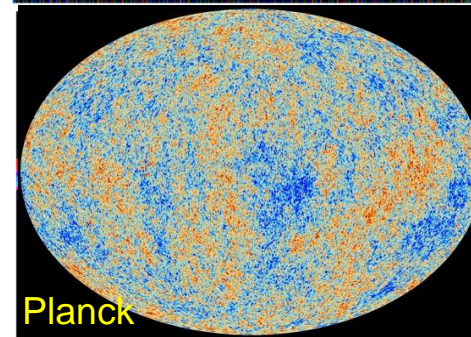
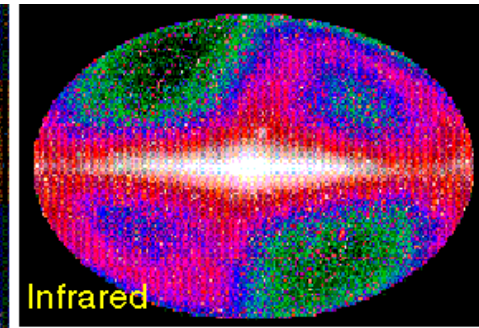
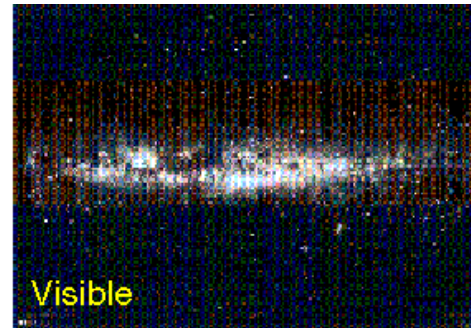
Cuando la materia se mueve, la curvatura del espacio-tiempo debe cambiar para seguirla. Pero el espacio-tiempo tarda un cierto tiempo a reaccionar, ya que la información sólo puede propagarse a la velocidad de la luz, y se forman ondulaciones en el tejido del espacio-tiempo. Estas ondulaciones en el espacio-tiempo son **las ondas gravitacionales**.

Una nueva ventana al Universo

En la historia de la astronomía cada vez que se ha abierto una nueva banda en el espectro electromagnético ha habido grandes descubrimientos

Las ondas gravitacionales no son simplemente una nueva banda, son todo un nuevo espectro con propiedades diferentes y complementarias a las ondas electromagnéticas.

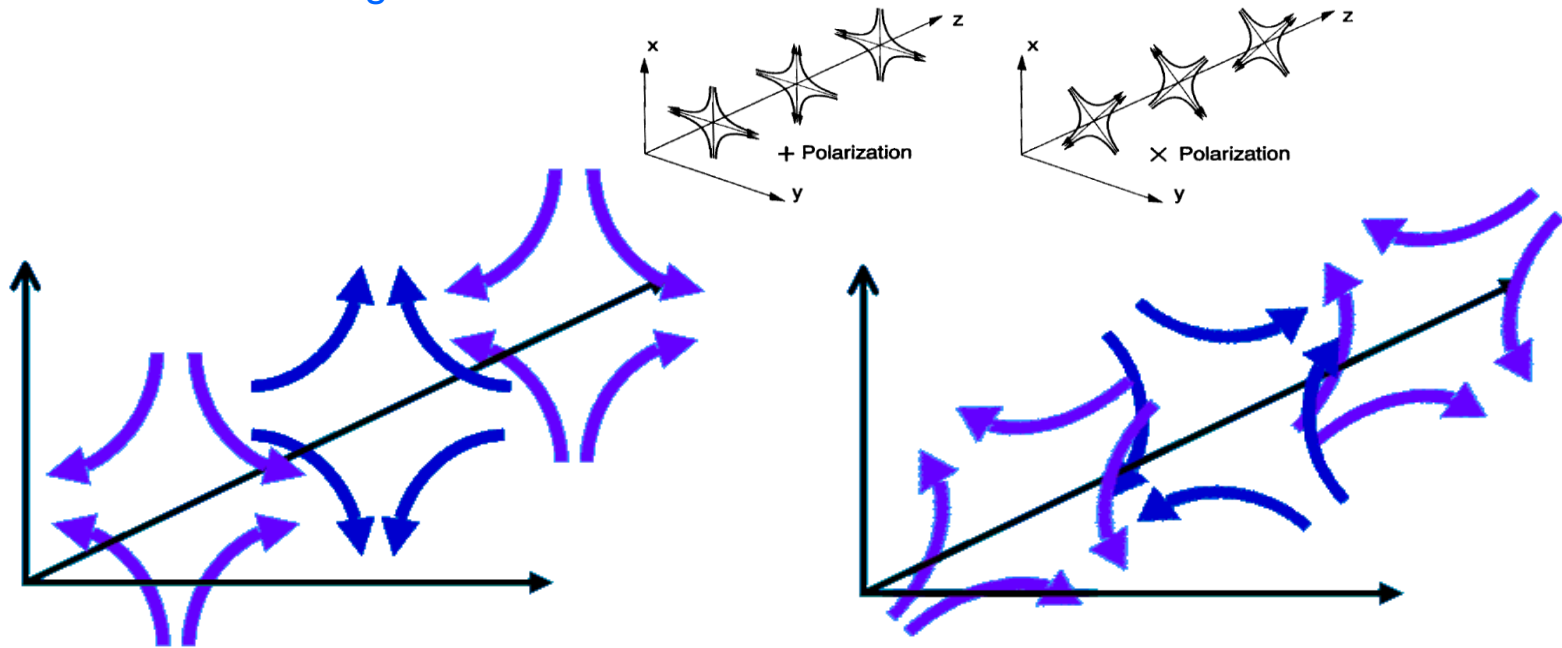
- Vibraciones del espacio-tiempo, no en el espacio-tiempo
- Producidas per el movimiento coherente de grandes masas moviéndose a casi la velocidad de la luz y no por vibraciones de electrones en átomos
- No pueden ser absorbidas, desviadas ni apantalladas.



La astronomía de ondas gravitacionales es una nueva ventana, única del Universo.

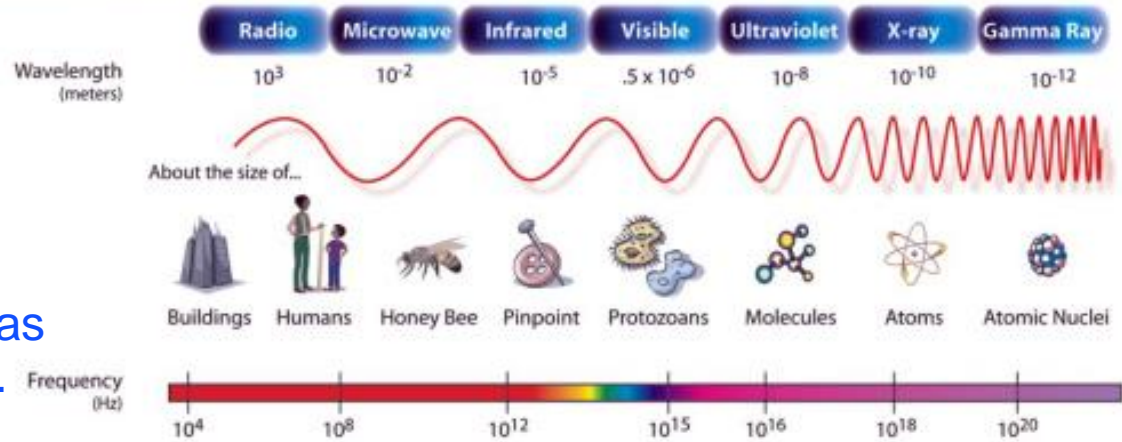
Interpretación física: efecto de una onda gravitacional sobre la materia

Una onda gravitacional (OG) produce **fuerzas de marea** sobre cualquier objeto sobre el que pasa. La distancia entre dos masas prueba se **expande** y se **contrae** de acuerdo a la frecuencia de la onda gravitatoria.



- De naturaleza y propiedades distintas de las ondas electromagnéticas (OEM), la detección directa y su estudio puede provocar una revolución de los conceptos actuales del universo.
- Observaciones con OEM y OG son como ver y oír!
- Al igual que la luz, las OG interactúan con la materia: tienen dos polarizaciones (“+” y “x”), que producen fuerzas de tracción y compresión.

THE ELECTROMAGNETIC SPECTRUM



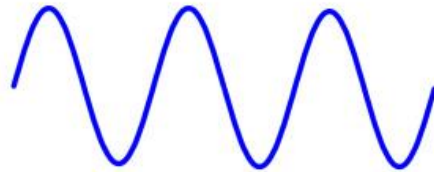
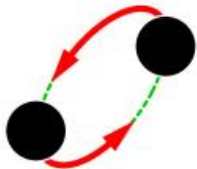
Ondas electromagnéticas

- ~16 órdenes de magnitud. Desde las frecuencias ultra bajas de las ondas de radio a las más altas de los rayos gamma.

Big Black Holes



Bigger (stronger) Gravitational Waves



Bigger Orbits

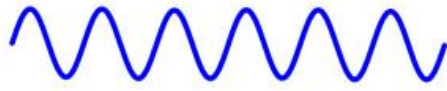


Longer Wavelengths (few waves per time)

Small Black Holes



Smaller (weaker) Gravitational Waves



Smaller Orbits

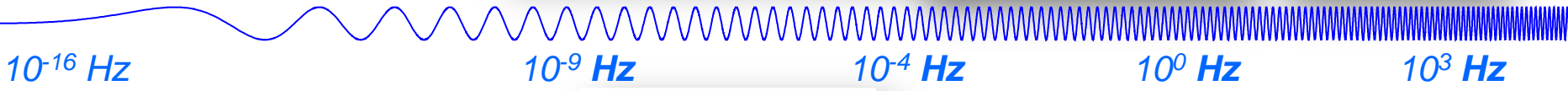
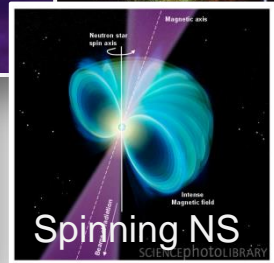
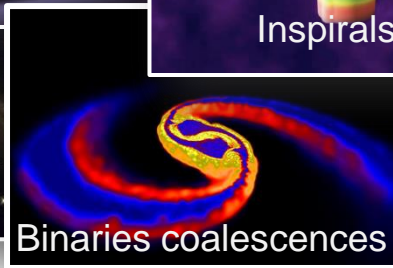
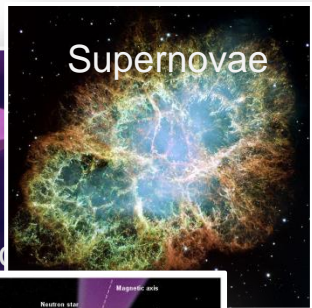
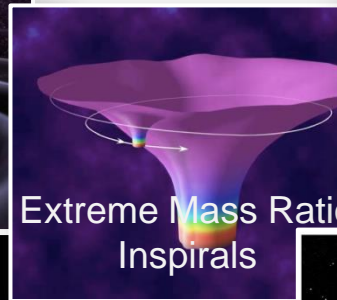
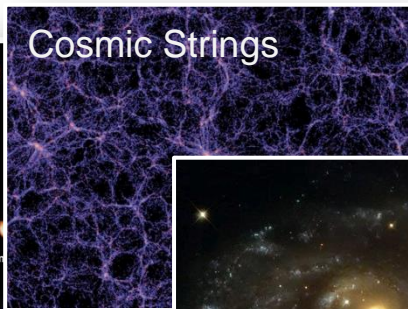
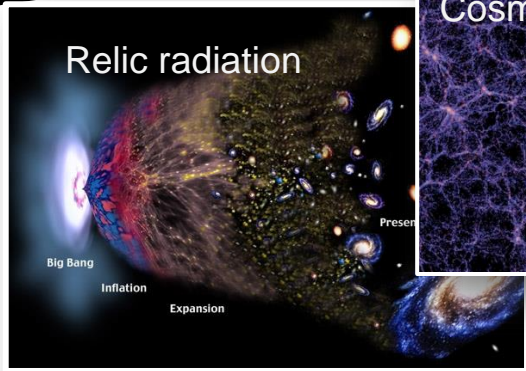


Shorter Wavelengths (more waves per time)

Ondas gravitacionales:

- La frecuencia de la onda emitida depende de la masa del objeto y de su compacticidad:
 - Objetos más masivos emiten a frecuencias más bajas, ($200 M_{\odot} = 1 \text{ ms} = 10^3 \text{ Hz}$).
 - Objetos más compactos tienen mayor frecuencia.
- Fuentes astrofísicas comunes emiten por debajo de varios kHz.

Las OG podrían existir a cualquier frecuencia, pero *directamente* detectables están en el rango de 10^{-9} Hz hasta 10^{11} Hz .

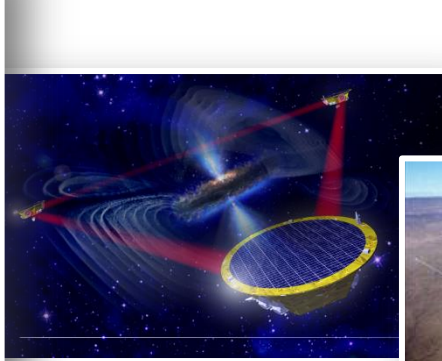
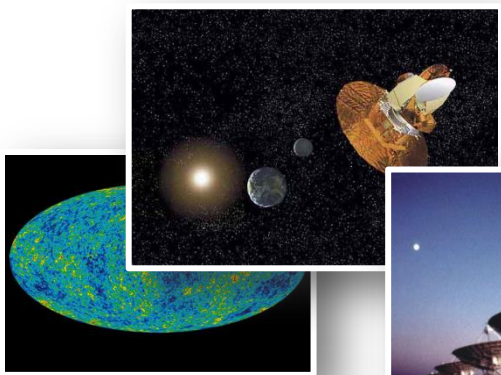


Inflation Probe

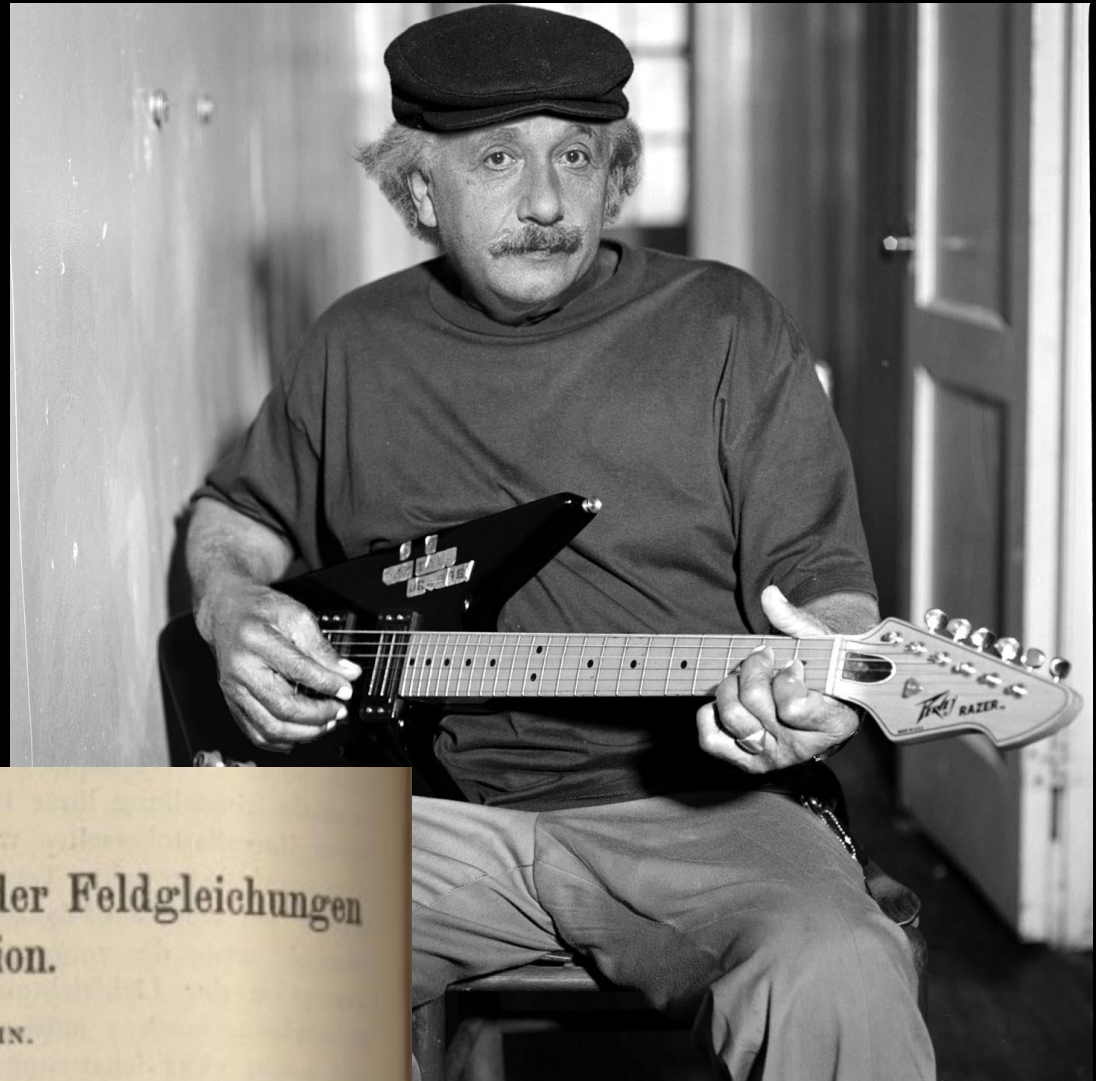
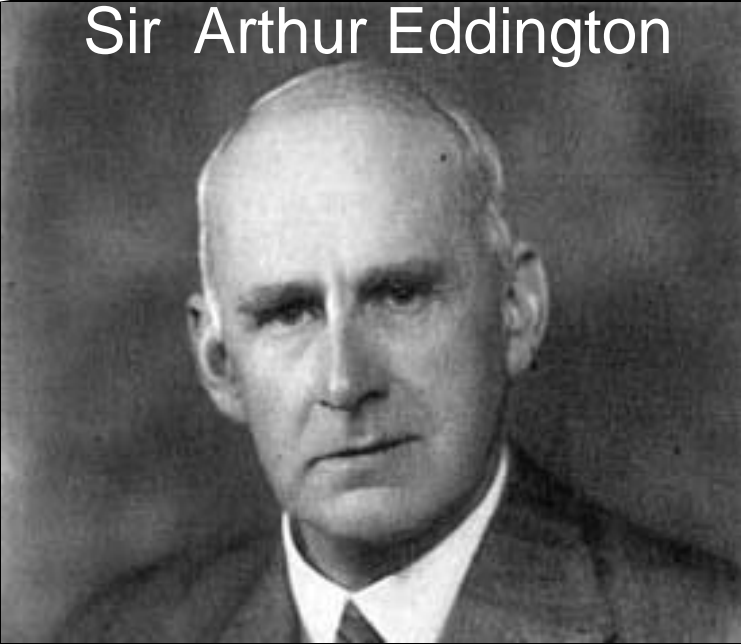
Pulsar timing

Space detectors

Ground interferometers



Sir Arthur Eddington



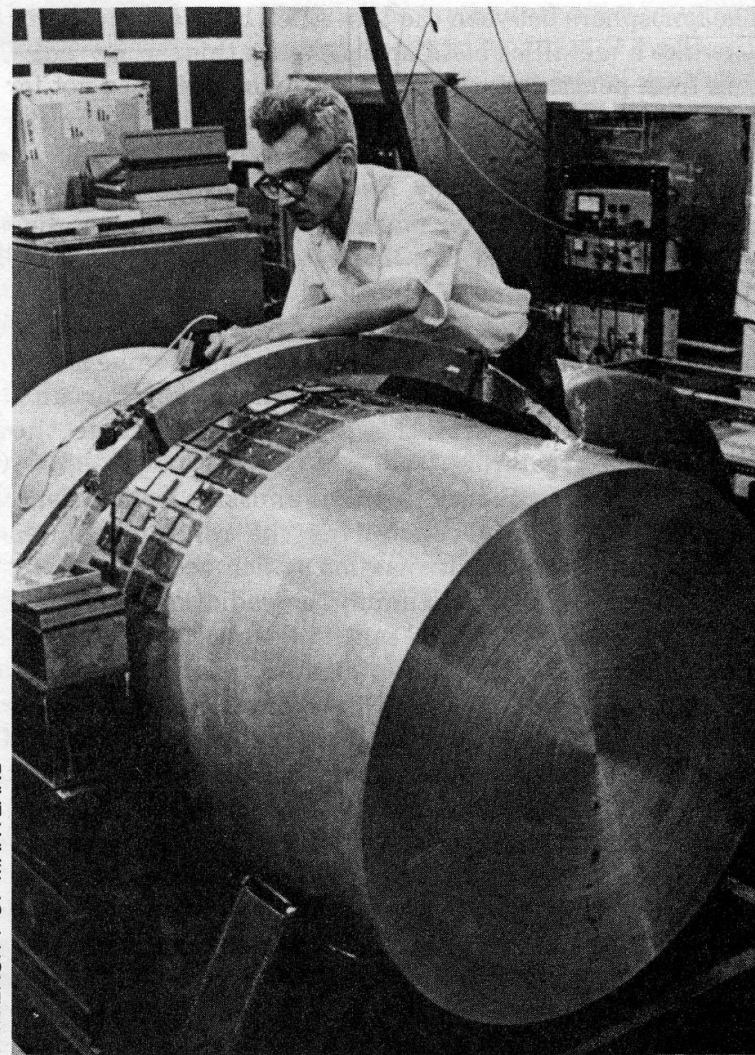
Näherungsweise Integration der Feldgleichungen der Gravitation.

VON A. EINSTEIN.

Bei der Behandlung der meisten speziellen (nicht prinzipiellen) Probleme auf dem Gebiete der Gravitationstheorie kann man sich damit begnügen, die $g_{\alpha\beta}$ in erster Näherung zu berechnen. Dabei bedient man sich mit Vorteil der imaginären Zeitvariable $x_4 = it$ aus denselben Gründen wie in der speziellen Relativitätstheorie. Unter »erster Näherung« ist dabei



Felix Pirani



UNIVERSITY OF MARYLAND

Joseph Weber

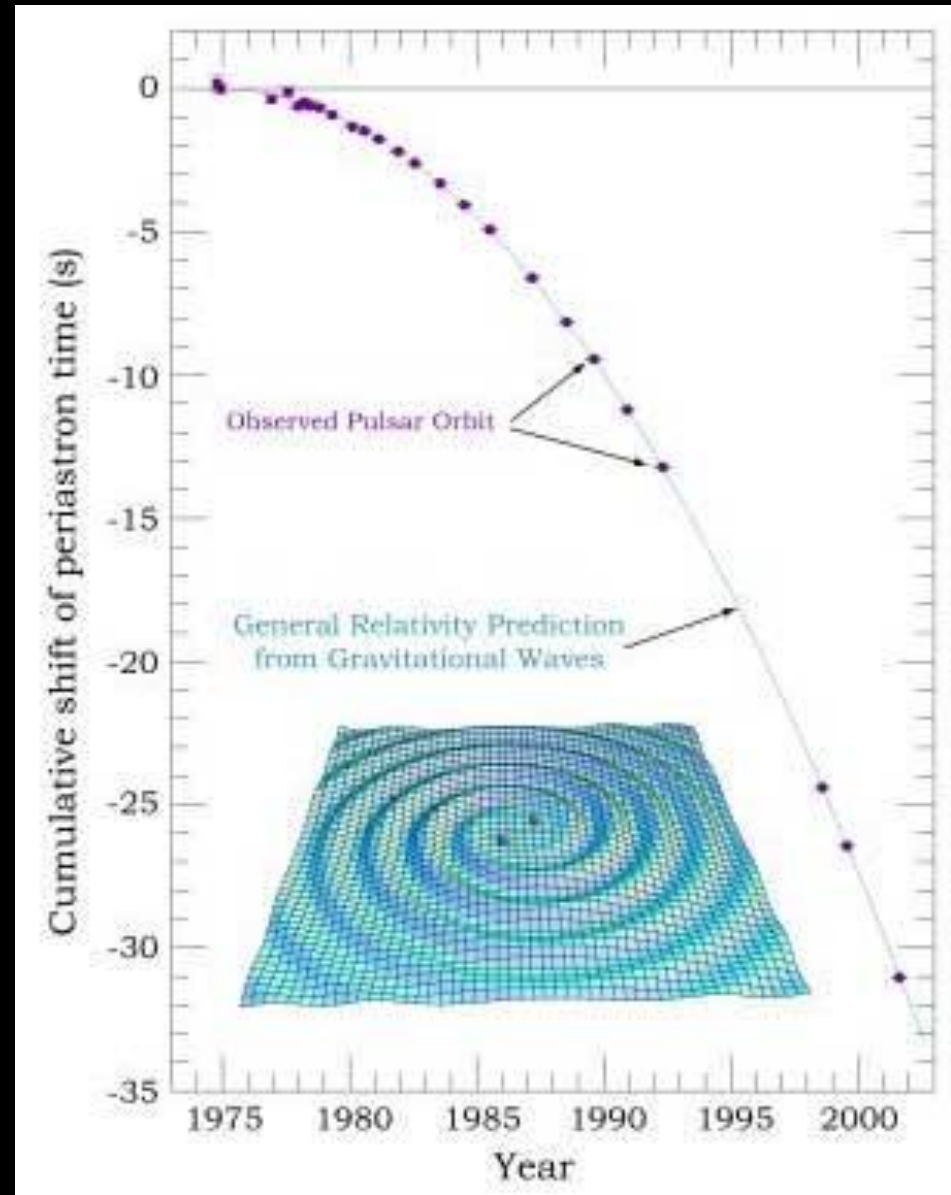
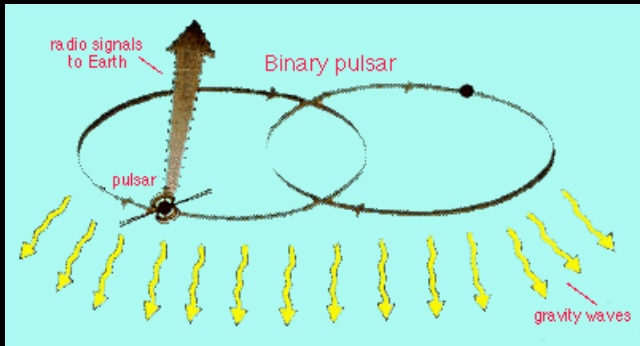


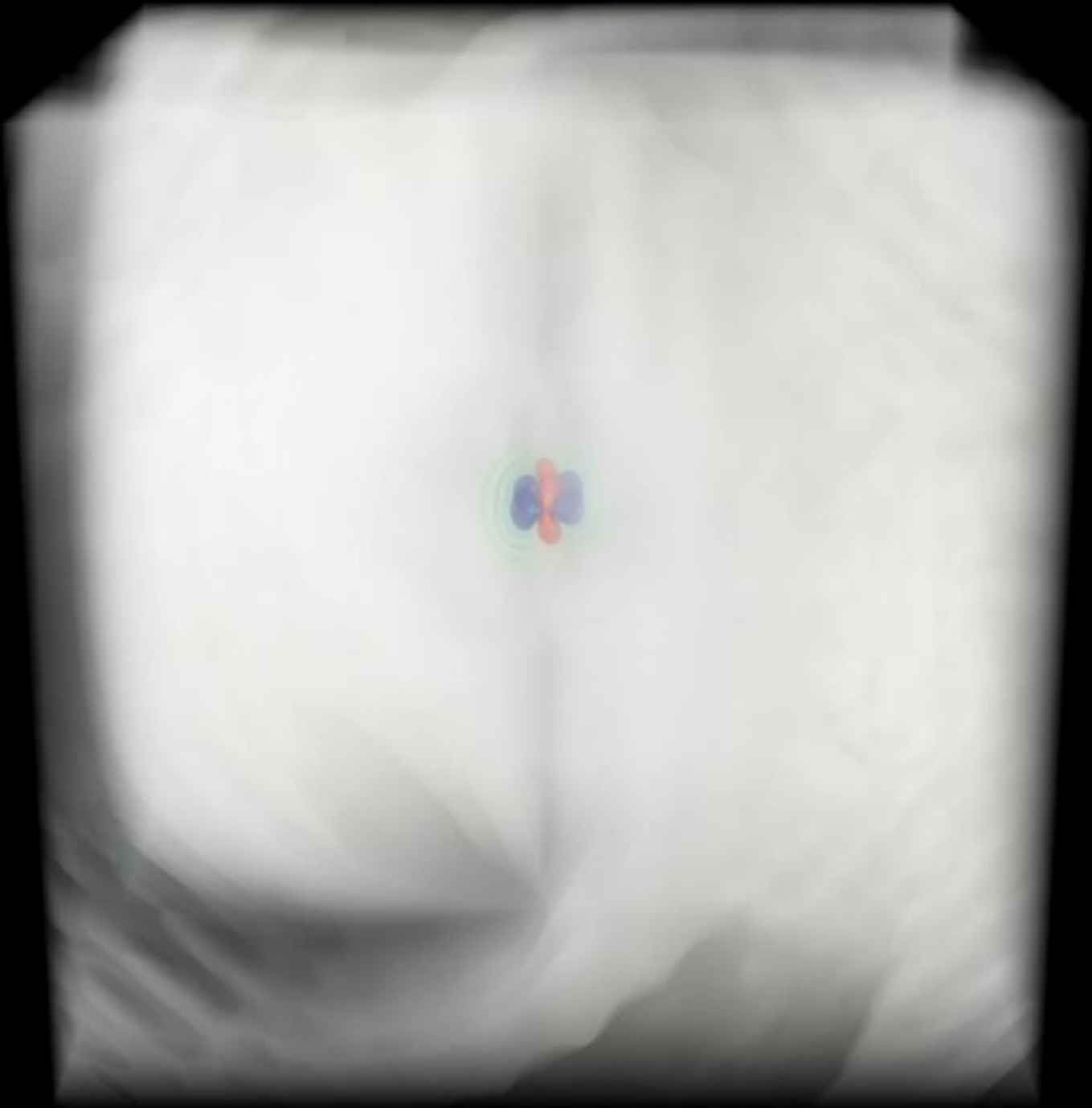
Joseph Taylor



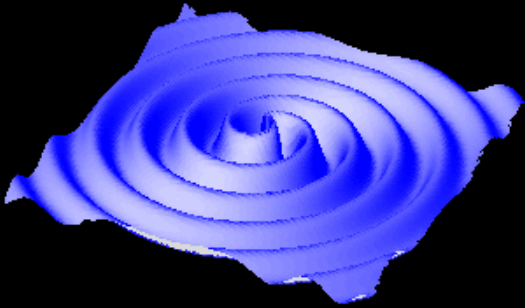
Russell Hulse

El primer púlsar binario,
PSR 1913+16, descubierto
por Hulse y Taylor en 1974.
Premio Nobel 1993





Una nueva ventana al universo



Los fenómenos más exóticos y violentos del universo producen las ondas gravitacionales de mayor intensidad: fusiones de agujeros negros y estrellas de neutrones, explosiones de estrellas supernova, estallidos de rayos gamma...

Incluso se podría observar lo que pasó justo después del Big Bang, cuando el universo no tenía un segundo de edad.

El reto en astronomía de ondas gravitacionales es detectar las ondas y extraer la información que contienen.

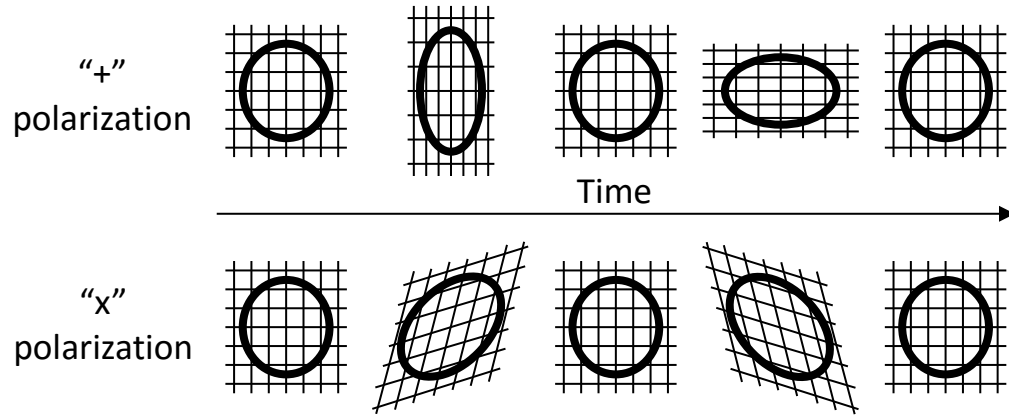
Las ondas gravitacionales ayudarán a explorar las grandes cuestiones de la física:

- ¿Cómo se forman los agujeros negros?
- ¿Cuál es el mecanismo que genera explosiones de rayos gamma?
- ¿Es la relatividad general la descripción correcta de la gravedad?
- ¿Cómo se comporta la materia bajo las condiciones extremas de temperatura y presión como las que existen en las estrellas de neutrones y las supernovas?
- ¿Cuál es la historia de la expansión acelerada del Universo?

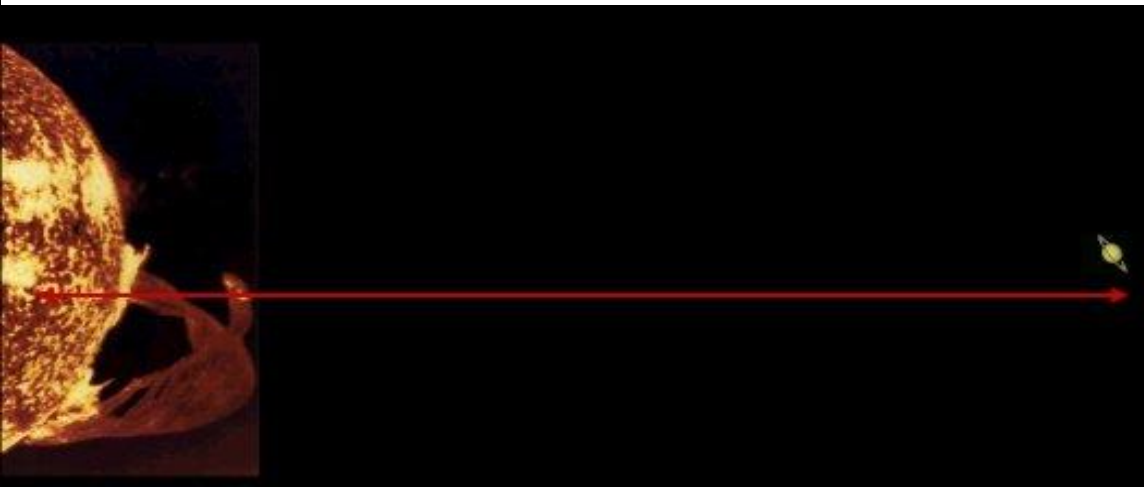
Tamaño de las perturbaciones

Las ondas gravitacionales comprimen el espacio en una dirección y lo estiran en la dirección perpendicular.

Los detectores de ondas gravitacionales han de medir desplazamientos del tamaño de la milésima parte de un protón.



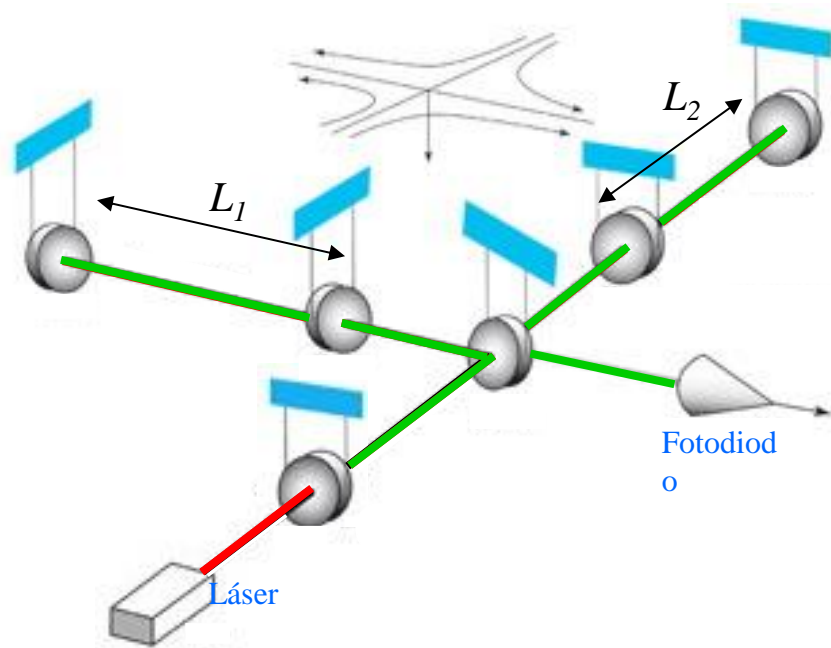
La perturbación del espacio que se prevé que se produzca cerca de la Tierra debido a eventos tales como la fusión de un par de estrellas de neutrones a unos 100 millones de años luz de la Tierra es de aproximadamente una parte en 10^{22} .



Equivalente a detectar el movimiento de Saturno si se acercase al Sol una distancia igual al diámetro de un átomo de hidrógeno!

Sensibilidad al límite

Para conseguir medir distancias tan pequeñas, se utiliza interferometría láser.



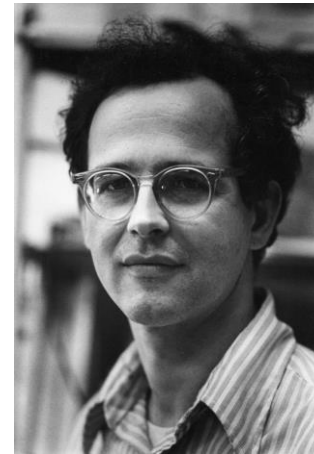
queremos medir $h(t) = \Delta L/L \rightarrow$ el cambio relativo en la longitud de los brazos del interferómetro mide la presión de las ondas gravitacionales



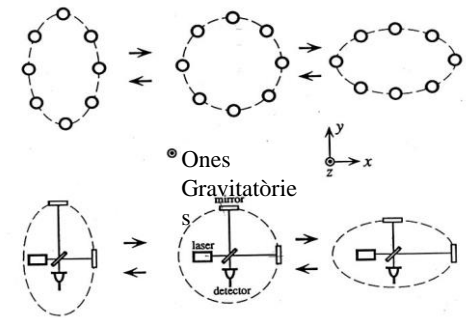
Kip Thorne



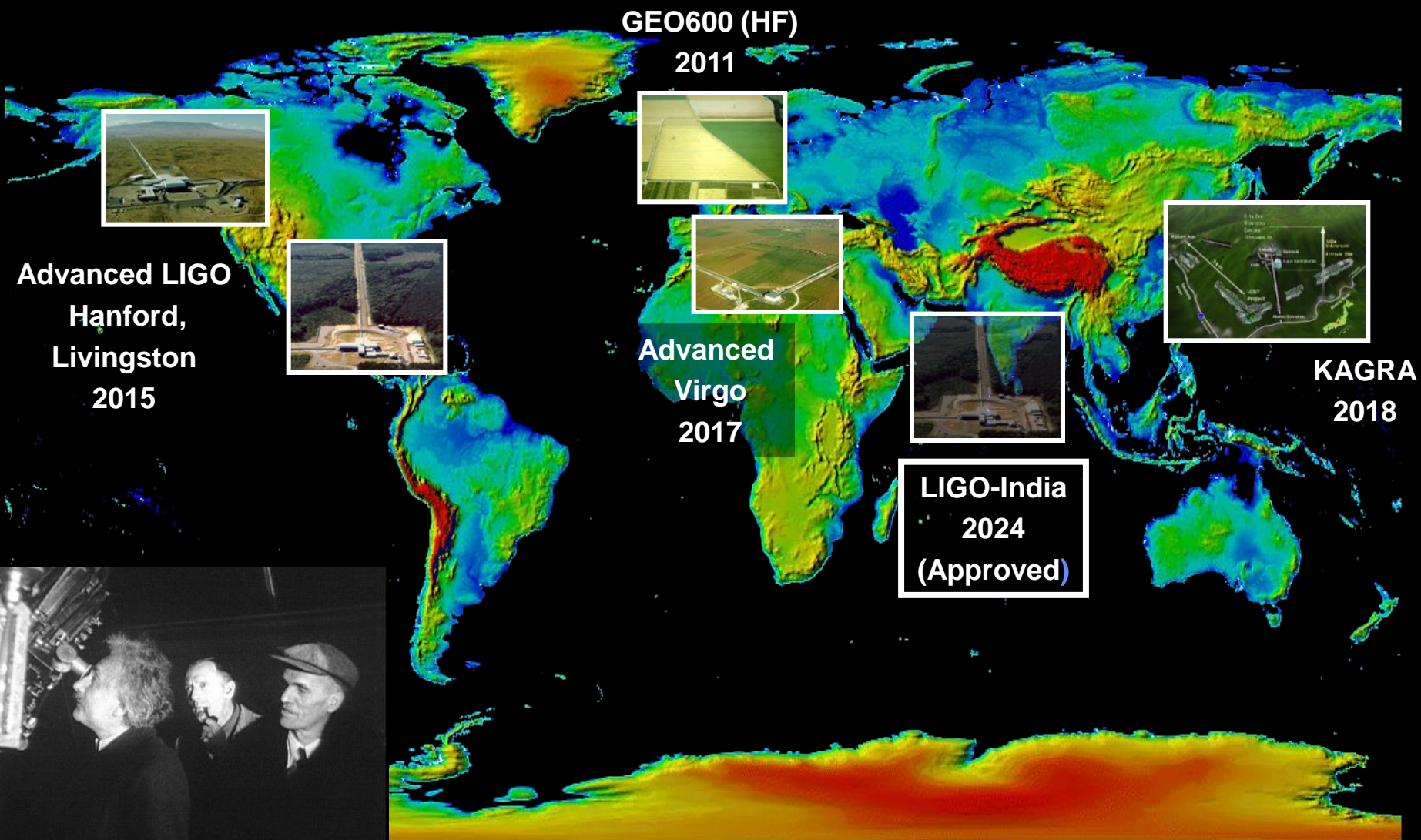
Ronald Drever



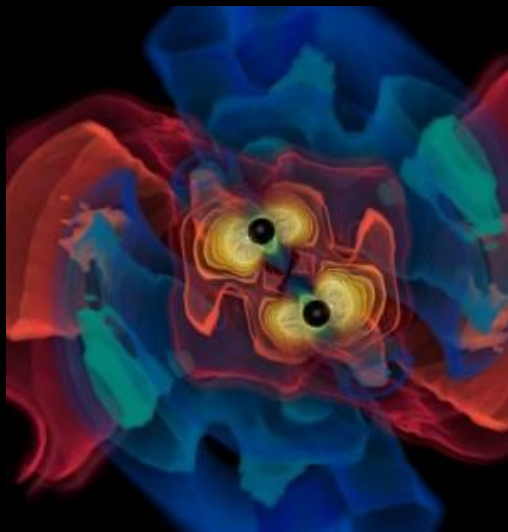
Rainer Weiss



The advanced GW detector network



Astrophysical Targets for Ground-based Detectors

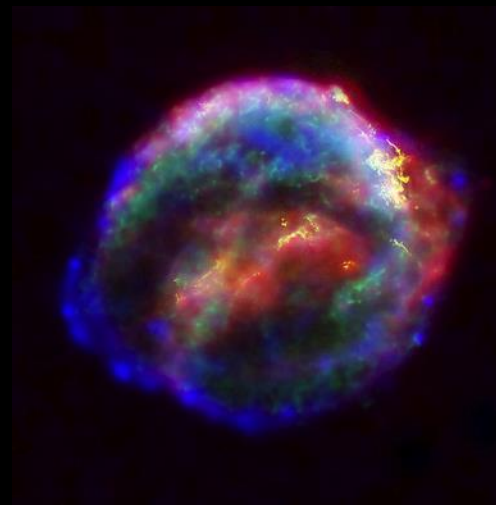


Coalescing Binary Systems

Well-modelled

Neutron stars,
low mass black
holes, and NS/BS
systems

Credit: AEI, CCT, LSU



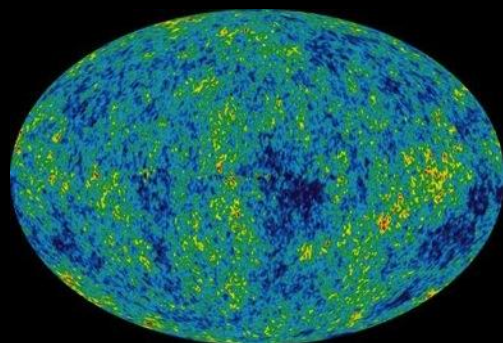
'Bursts'

Unmodelled

galactic
asymmetric core
collapse
supernovae

cosmic strings

???



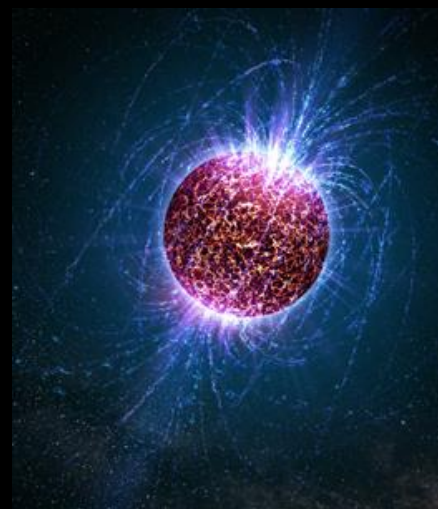
NASA/WMAP Science Team

Stochastic GWs

Noise

Incoherent
background from
primordial GWs or
an ensemble of
unphased sources

primordial GWs
unlikely to detect,
but can bound in
the 10-10000 Hz
range



Casey Reed, Penn State

Continuous Sources

Essentially
Monotone

Spinning neutron
stars

probe crustal
deformations,
equation of state,
'quarkiness'

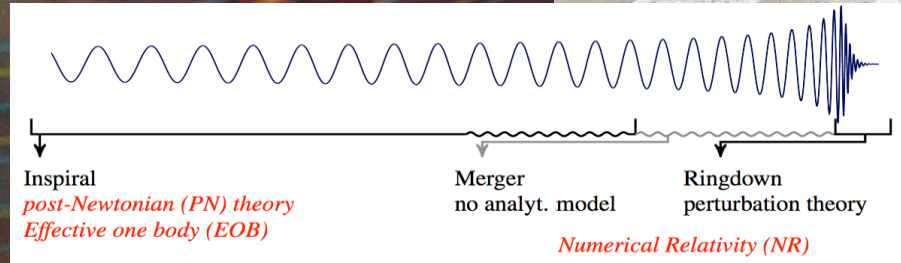
La Colaboración Científica

LIGO (LSC)

www.ligo.org



El Grupo de Relatividad y Gravitación de la Universidad de las Illes Balears forma parte de la Colaboración Científica LIGO y GEO.

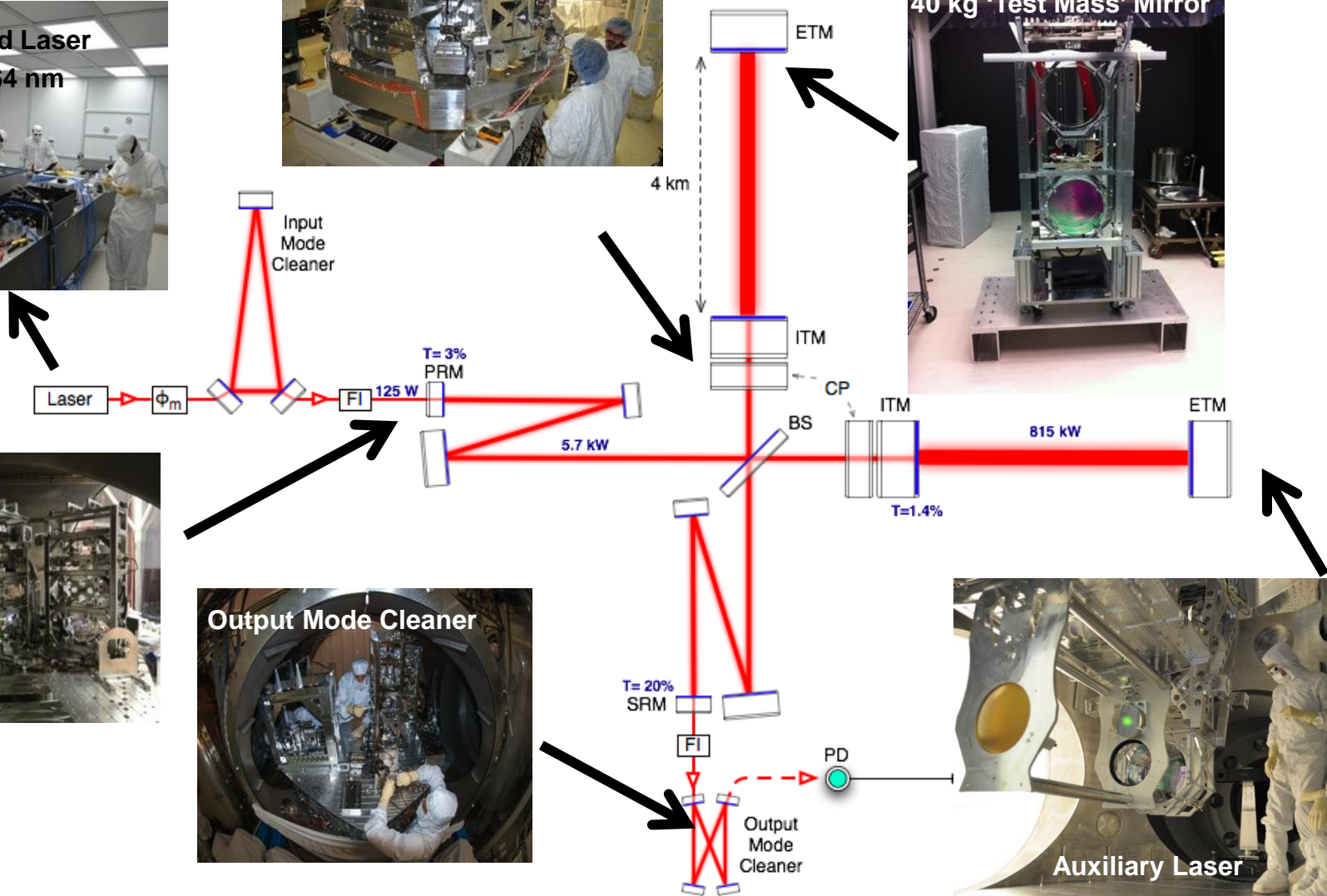
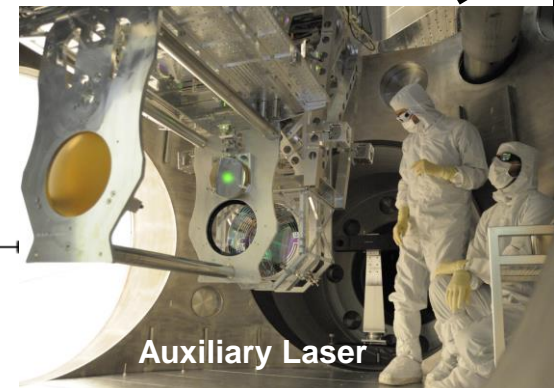
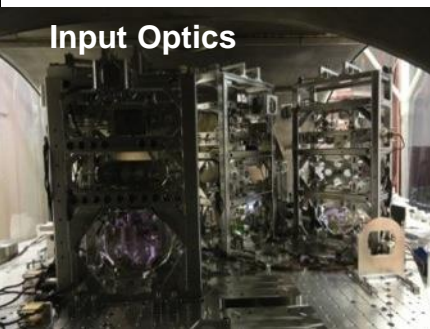
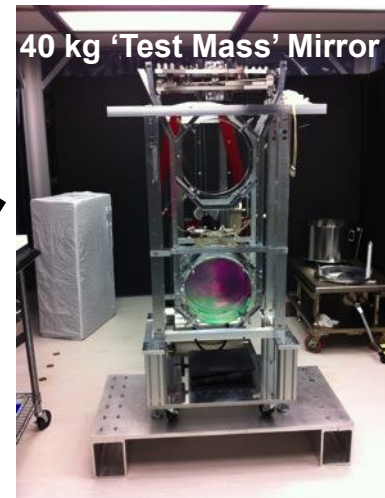


El trabajo del grupo de la UIB se centra en la búsqueda de ondas gravitacionales procedentes de agujeros negros y estrellas de neutrones, y el modelado computacional necesario para identificar dichas fuentes.

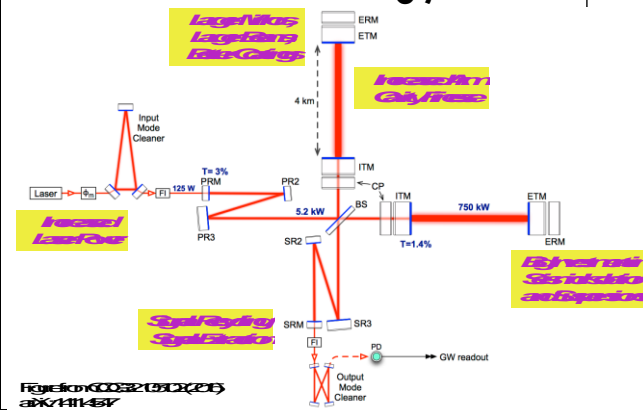
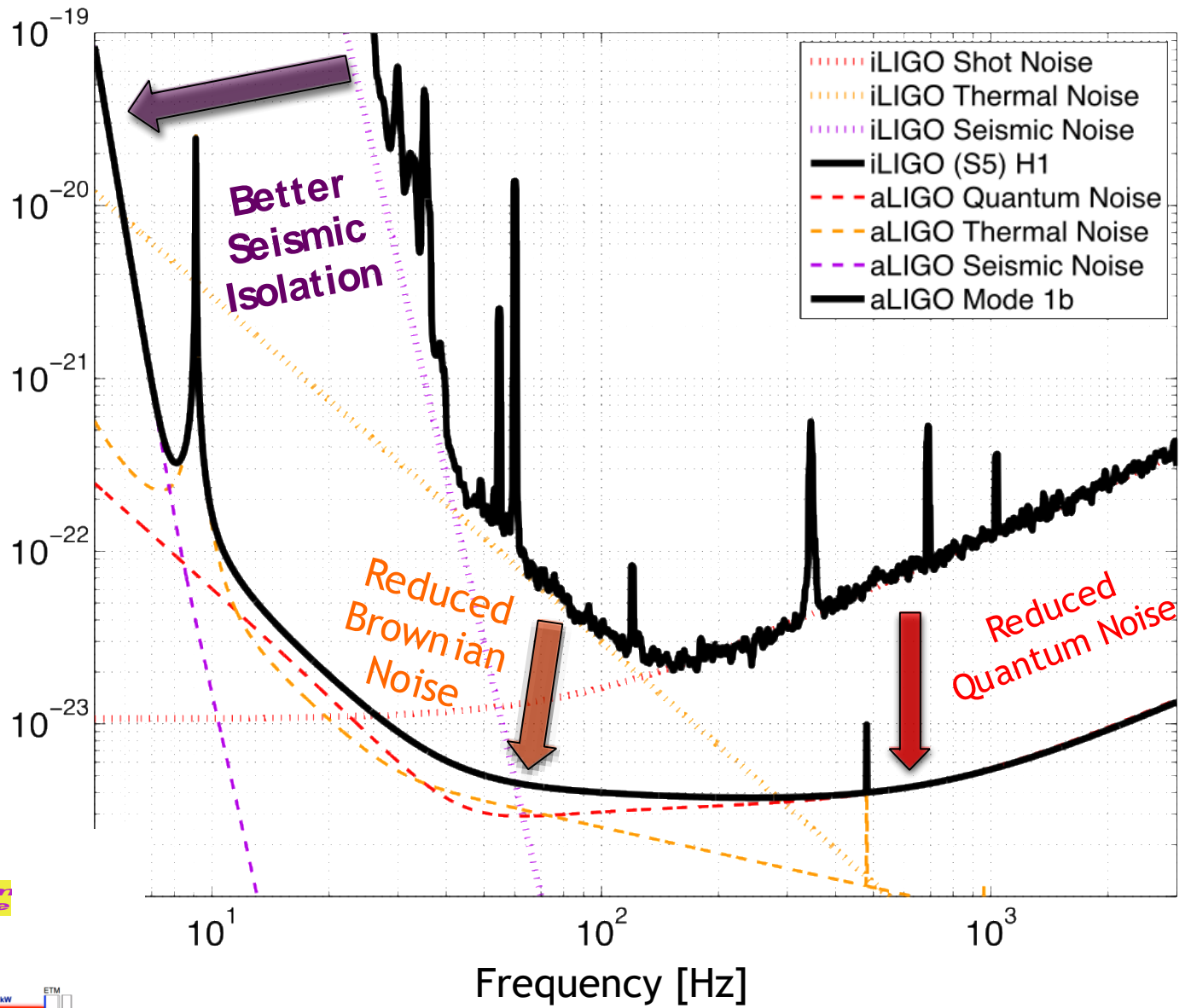




LIGO Avanzado

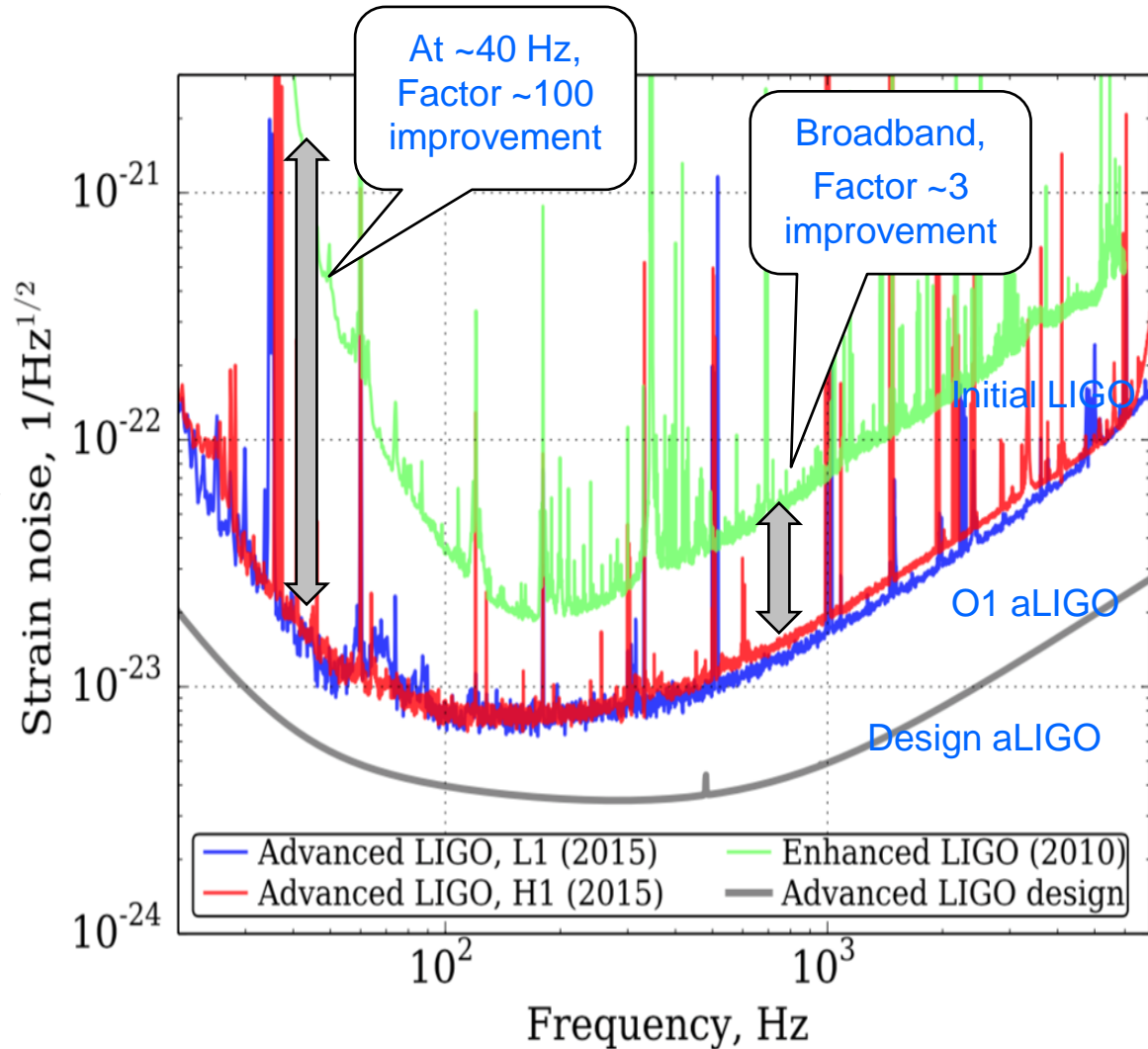


Strain Amplitude Spectral Density [$\text{Hz}^{-1/2}$]

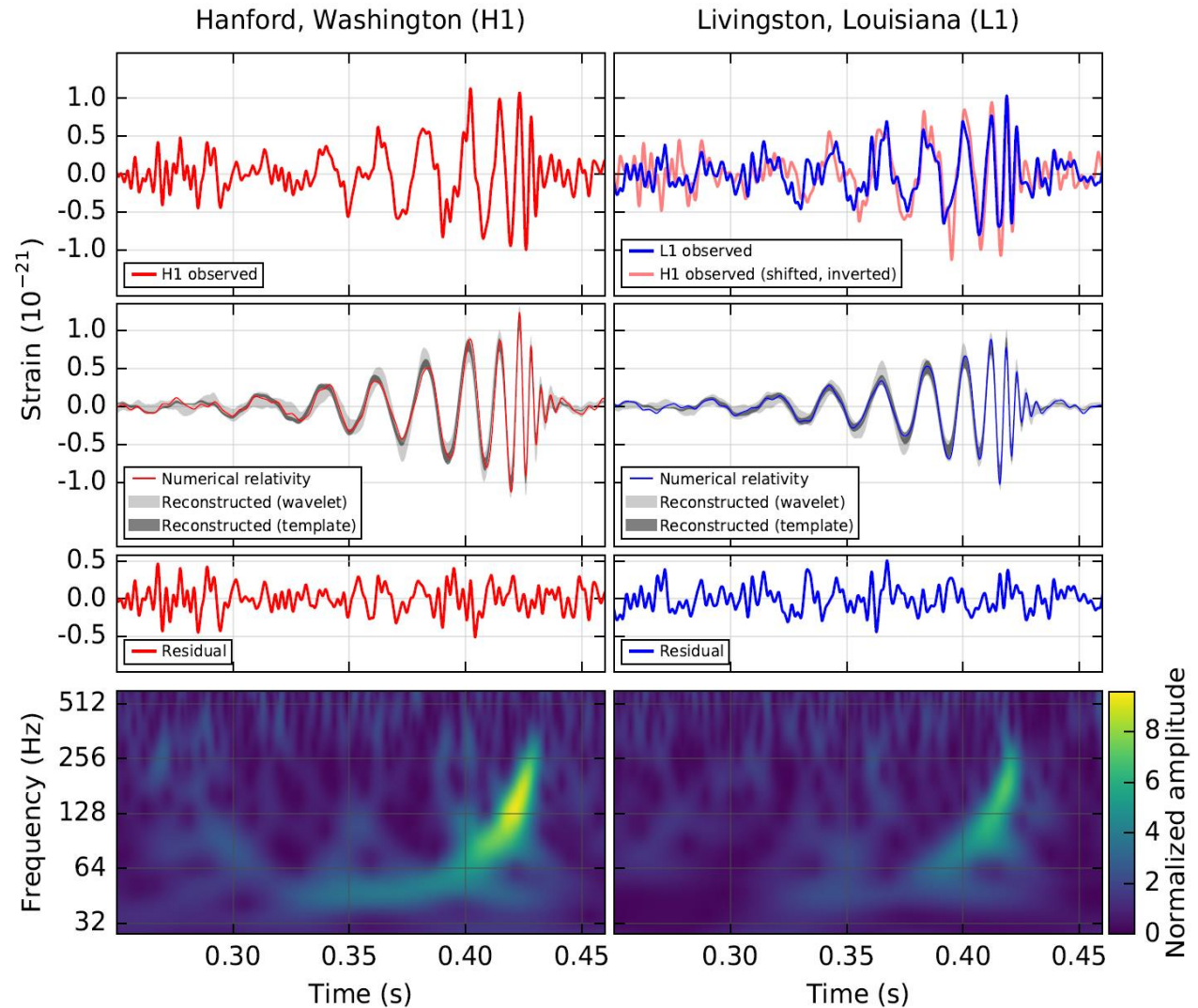
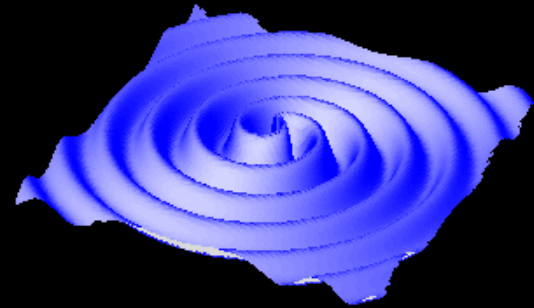


Science run O1

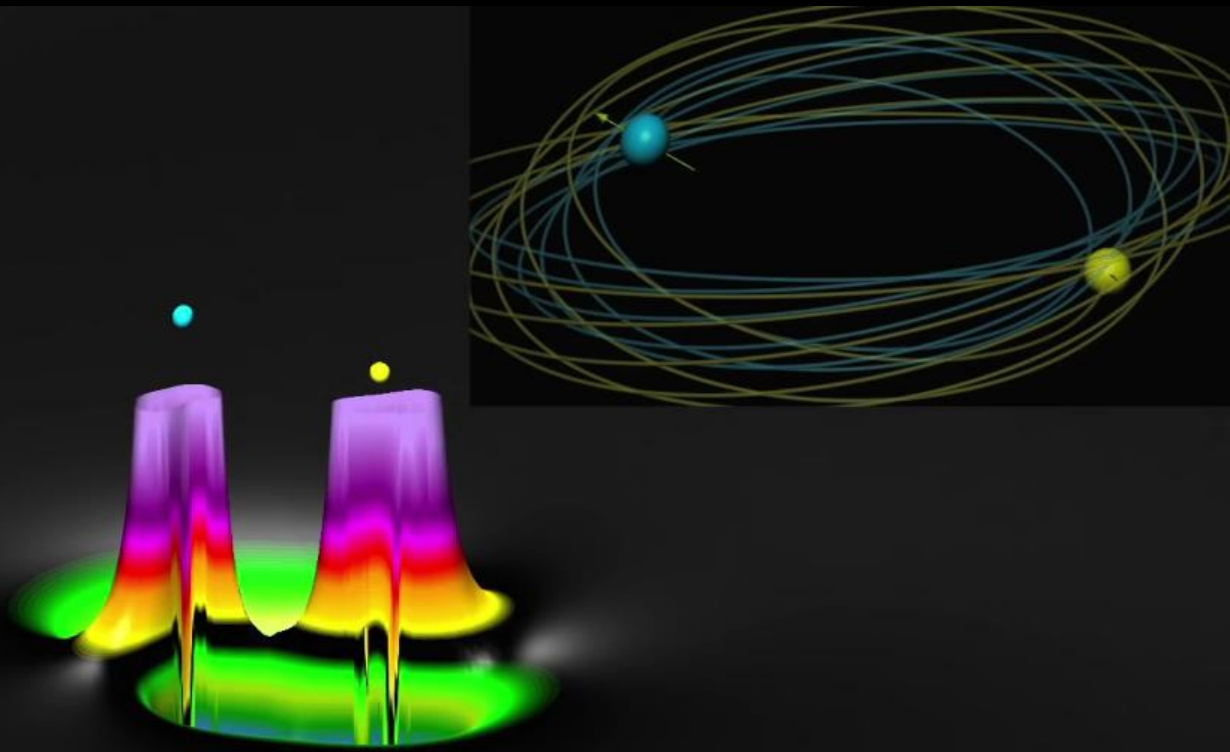
- Del 18 de septiembre de 2015 al 12 de enero 2016 tuvo lugar el primer período de observación de LIGO Avanzado (O1), aunque en las semanas precedentes ambos detectores estaban ya en funcionamiento, en modo de prueba (ER8).
- Triplicar el alcance de la distancia supone aumentar 27 veces el volumen de espacio accesible a LIGO, hecho que aumenta considerablemente las posibilidades de detección.



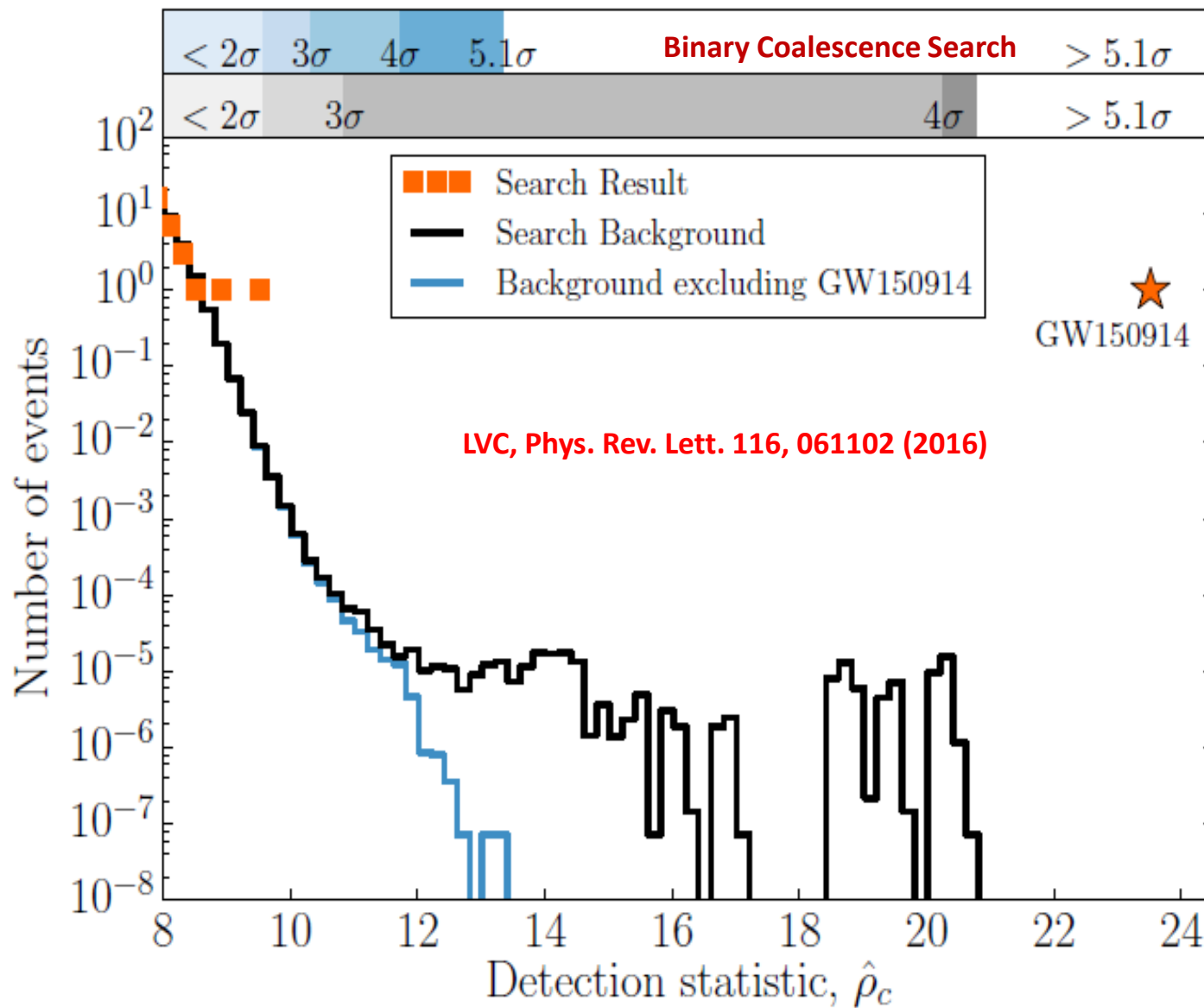
GW150914: la primera observación de onda gravitacional



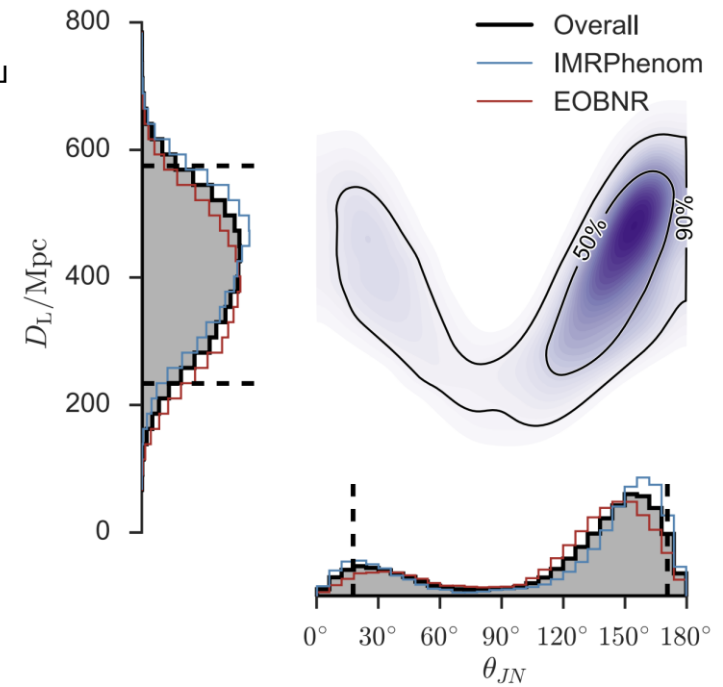
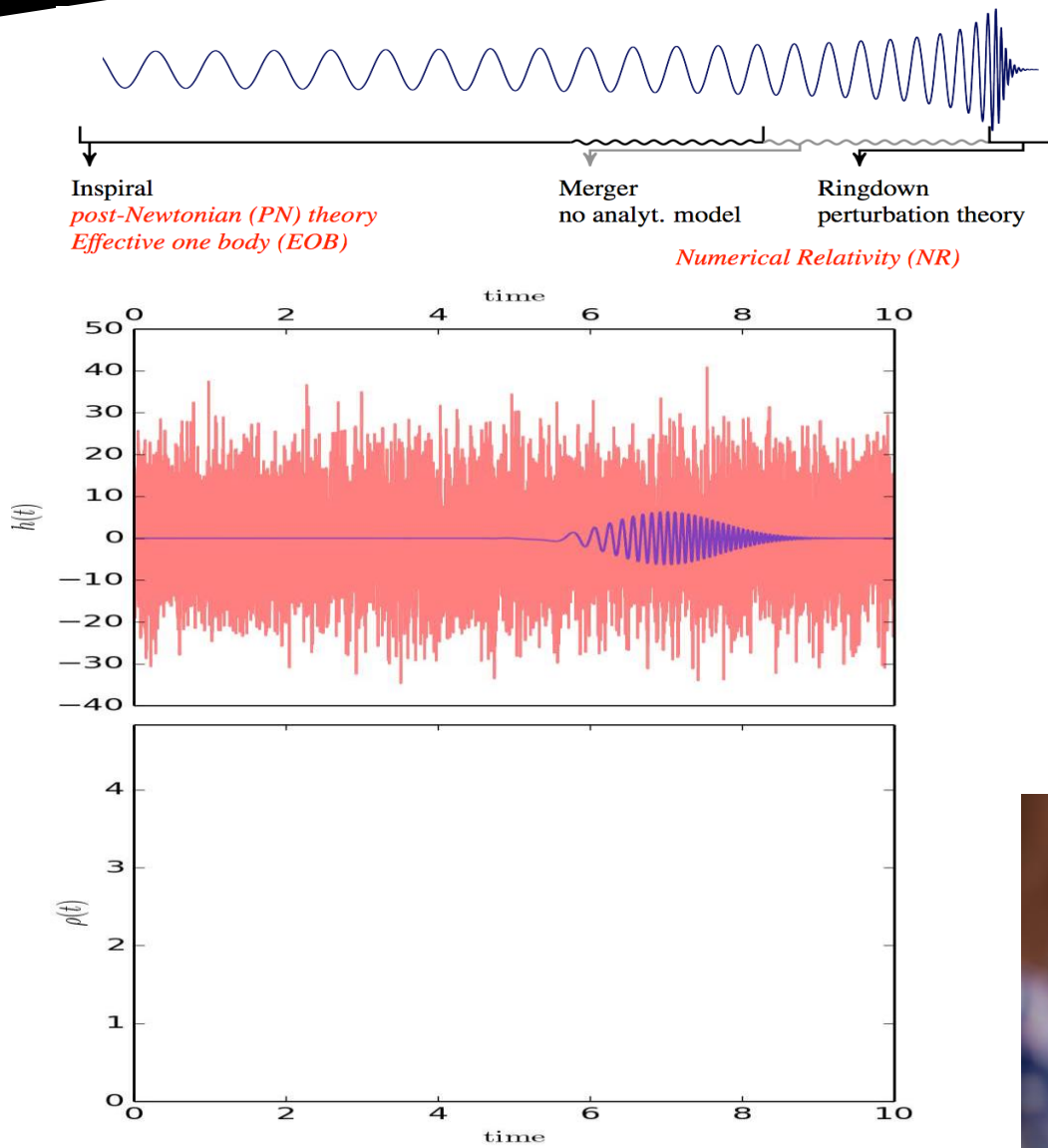
time(ms)=450



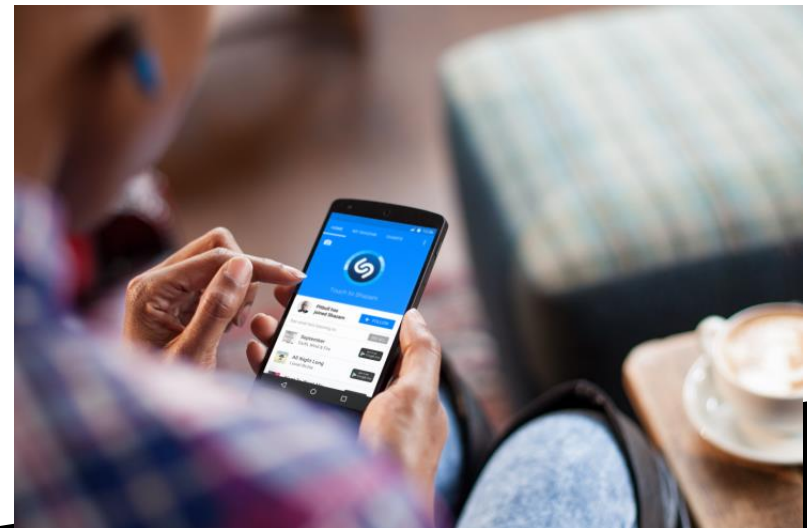
Statistical Significance of GW150914



La anatomía de las señales de ondas gravitacionales.

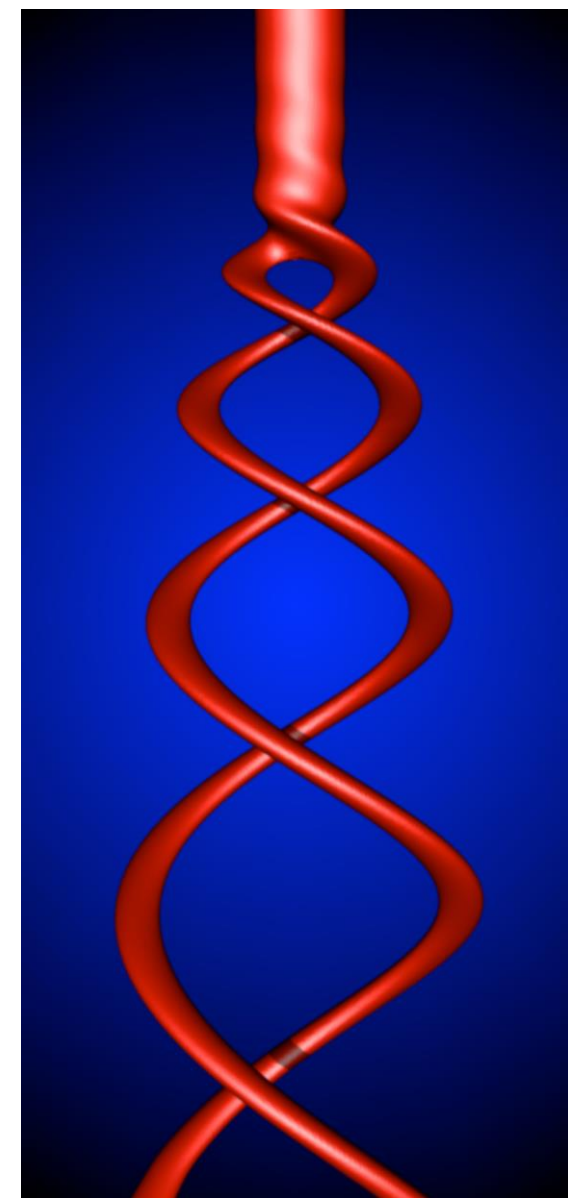


El análisis óptimo de los datos se basa en el método del filtro adaptado con plantillas de formas de onda.



Relatividad numérica

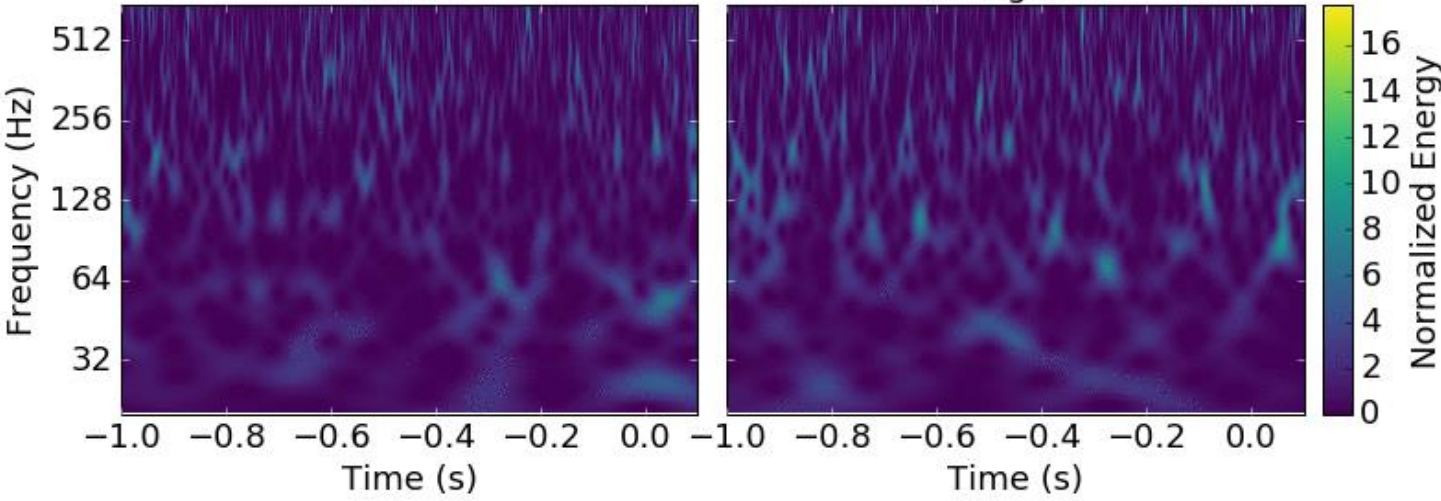
- Las ecuaciones de Einstein son tan complejas, que necesitamos superordenadores para resolverlas.
- A partir de una configuración inicial del campo gravitatorio, podemos utilizarlas para predecir la dinámica futura.



- El cálculo de unos pocos milisegundos de una colisión de estrellas de neutrones o agujeros negros, puede tomar muchas semanas en cientos de procesadores.

Hanford

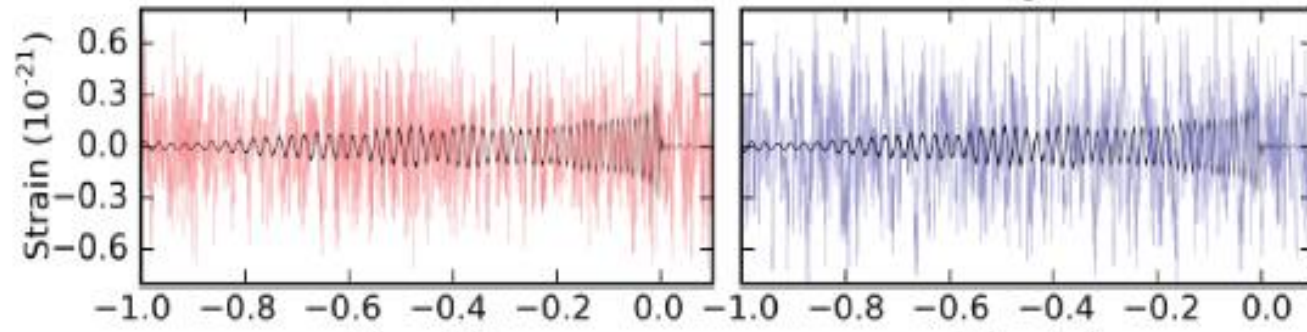
Livingston



LVC , Physical Review Letters **116**, 241103 (2016)

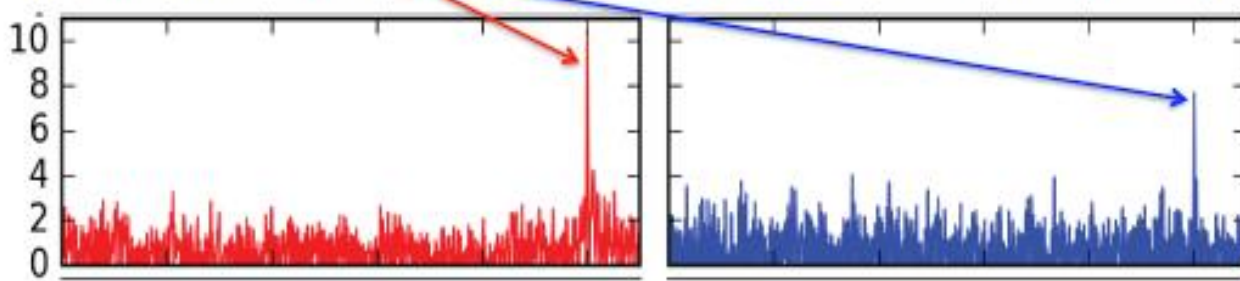
Hanford

Livingston



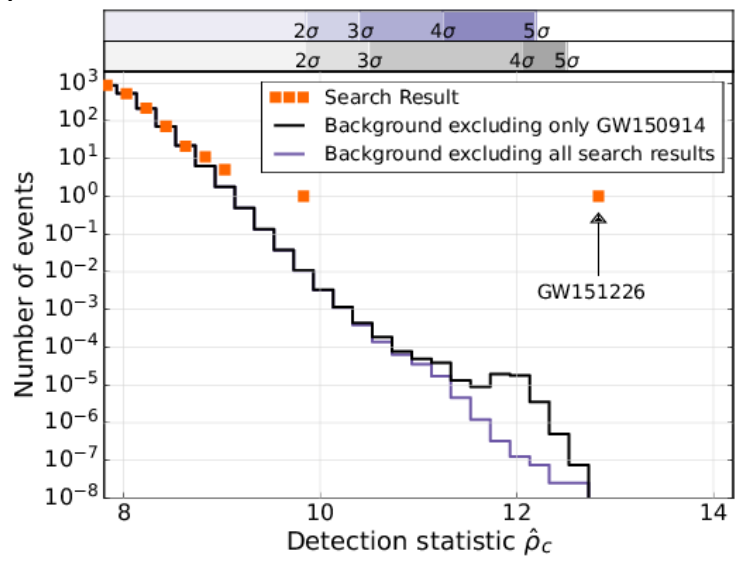
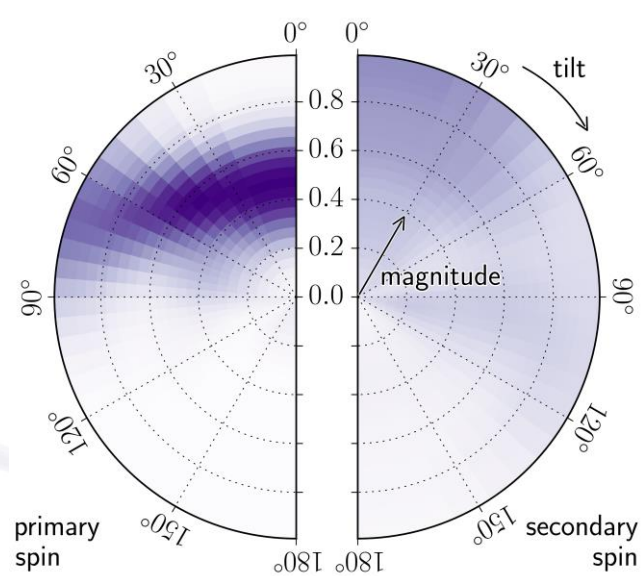
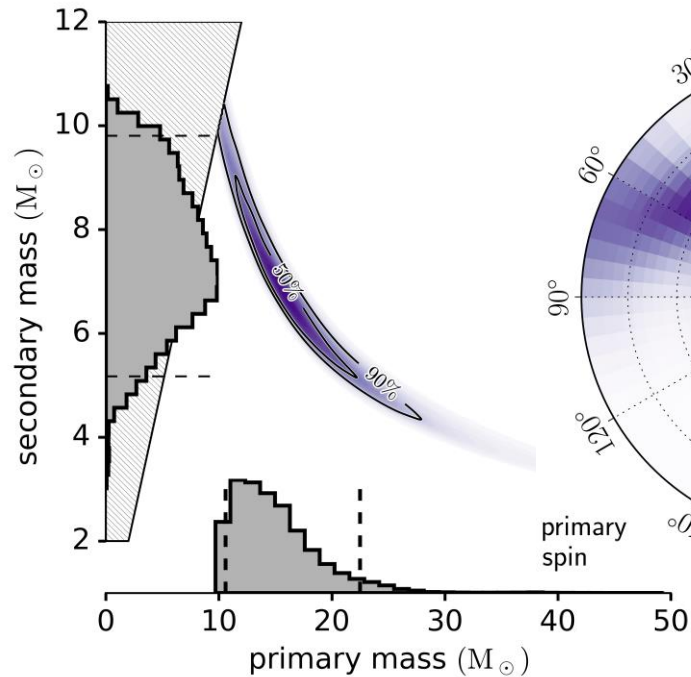
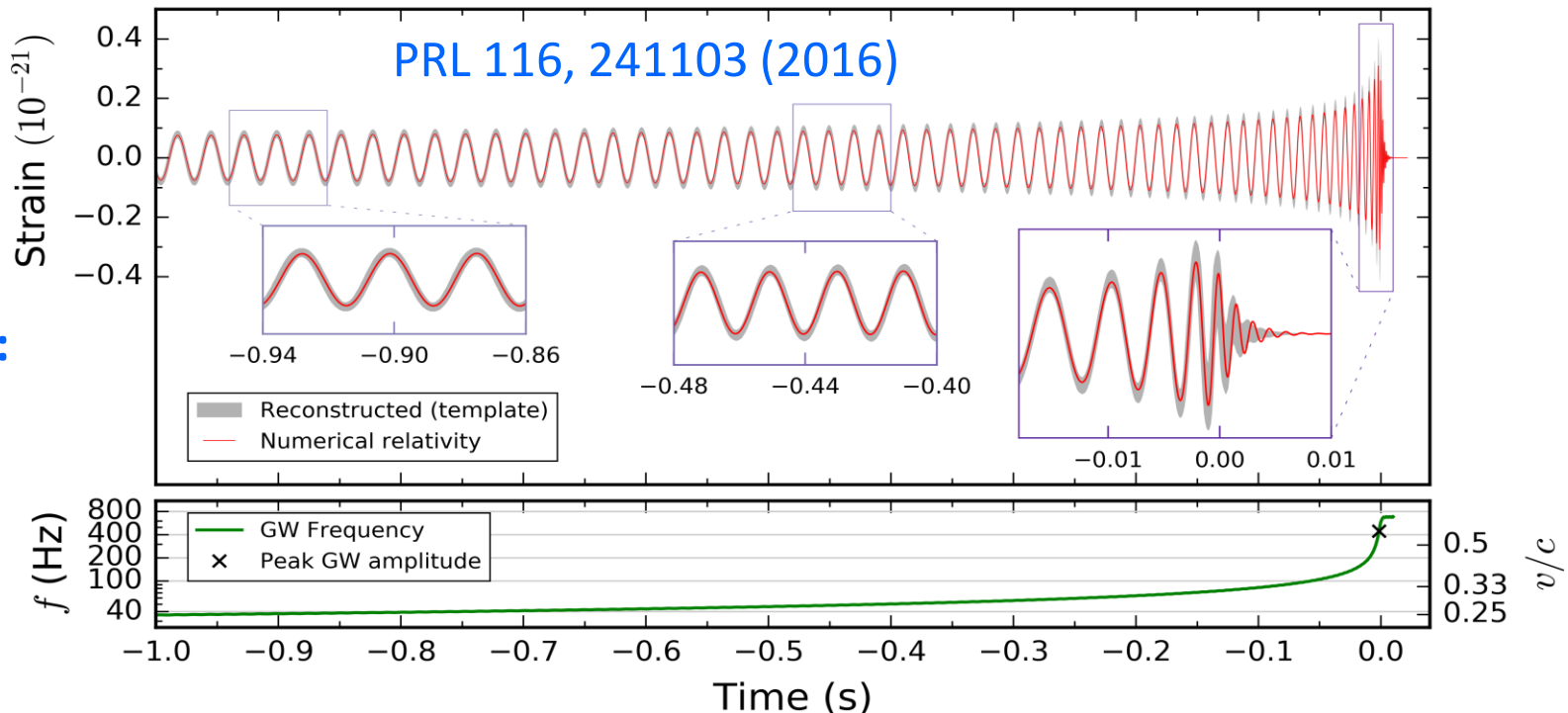
- **GW151226:**
at 03:38:53 UTC
- $14M_{\odot} + 8M_{\odot} = 21 M_{\odot}$
- SNR = 13, > 5 sigmas
- $E_{\text{radiated}} = 1M_{\odot}c^2$
in 1 second
- 440 Mpc, $z=0.09$
~1.4 billion light years

Signal-to-noise (SNR) when best template matches at coalescence time



GW151226:

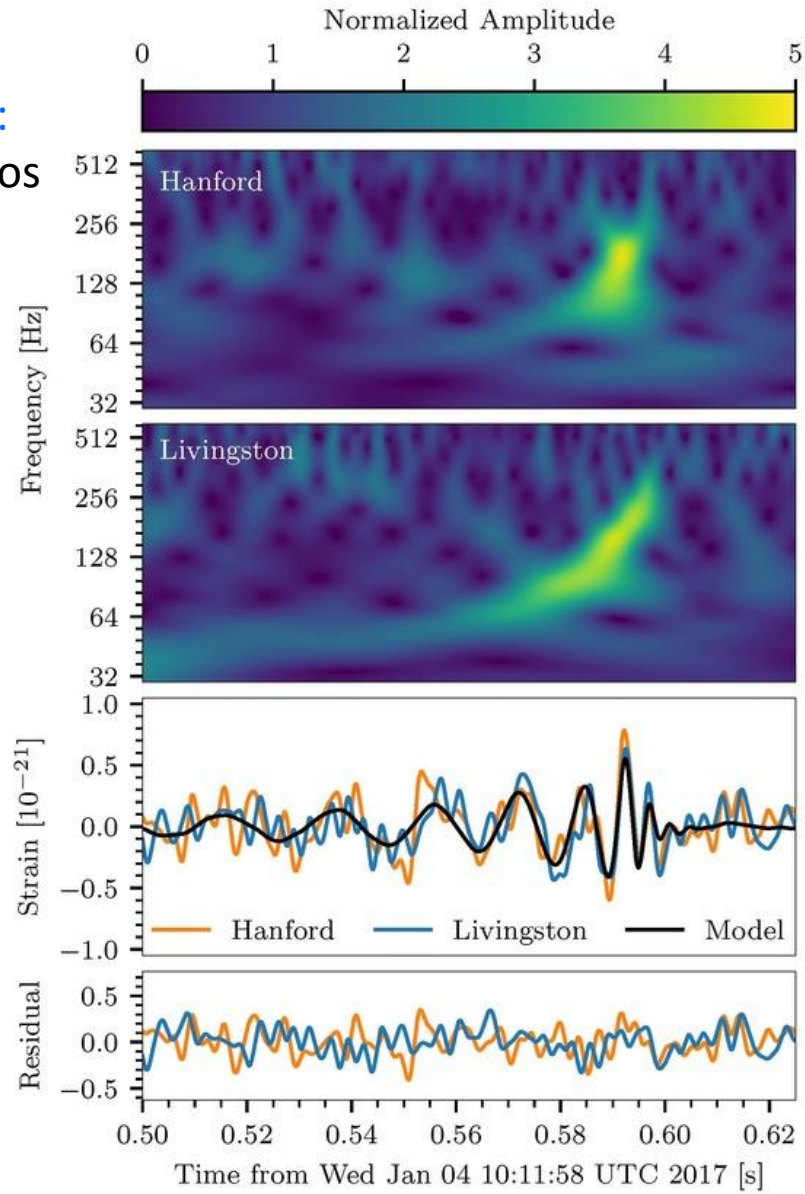
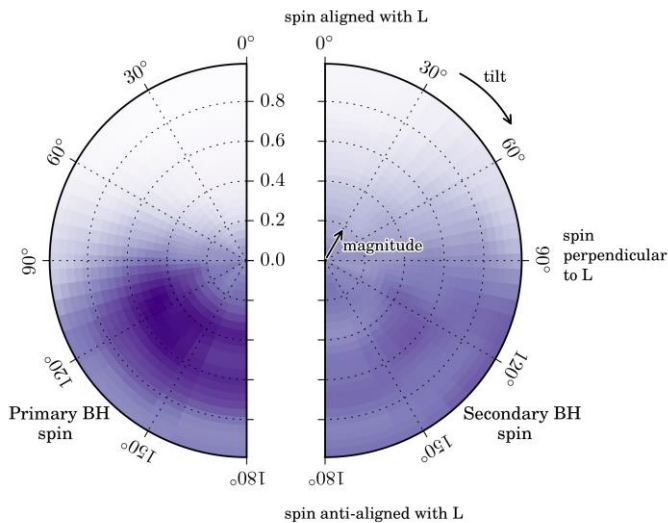
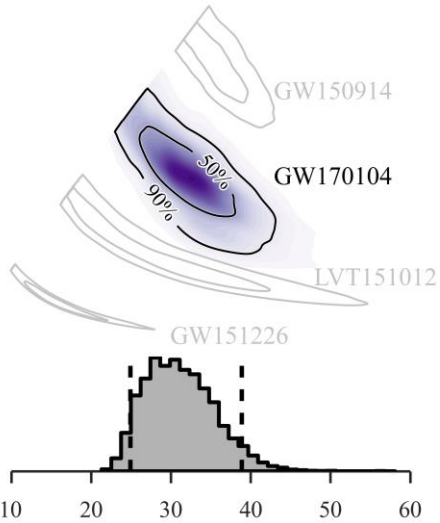
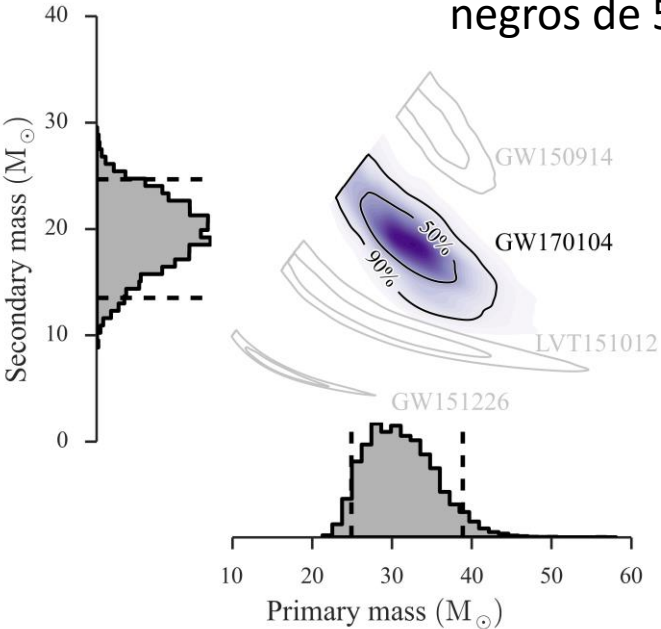
27 órbitas



GW170104: 4 de enero 2017 a 10:11:58.6 UTC:

Observación de la fusión de una binaria de agujeros negros de $50 M_{\odot}$

$31.2 M_{\odot} + 19.4 M_{\odot} =$
 $48.7 M_{\odot} + 2 M_{\odot} c^2$
 880 Mpc, $z=0.2$
 (~3000 millones de años luz)

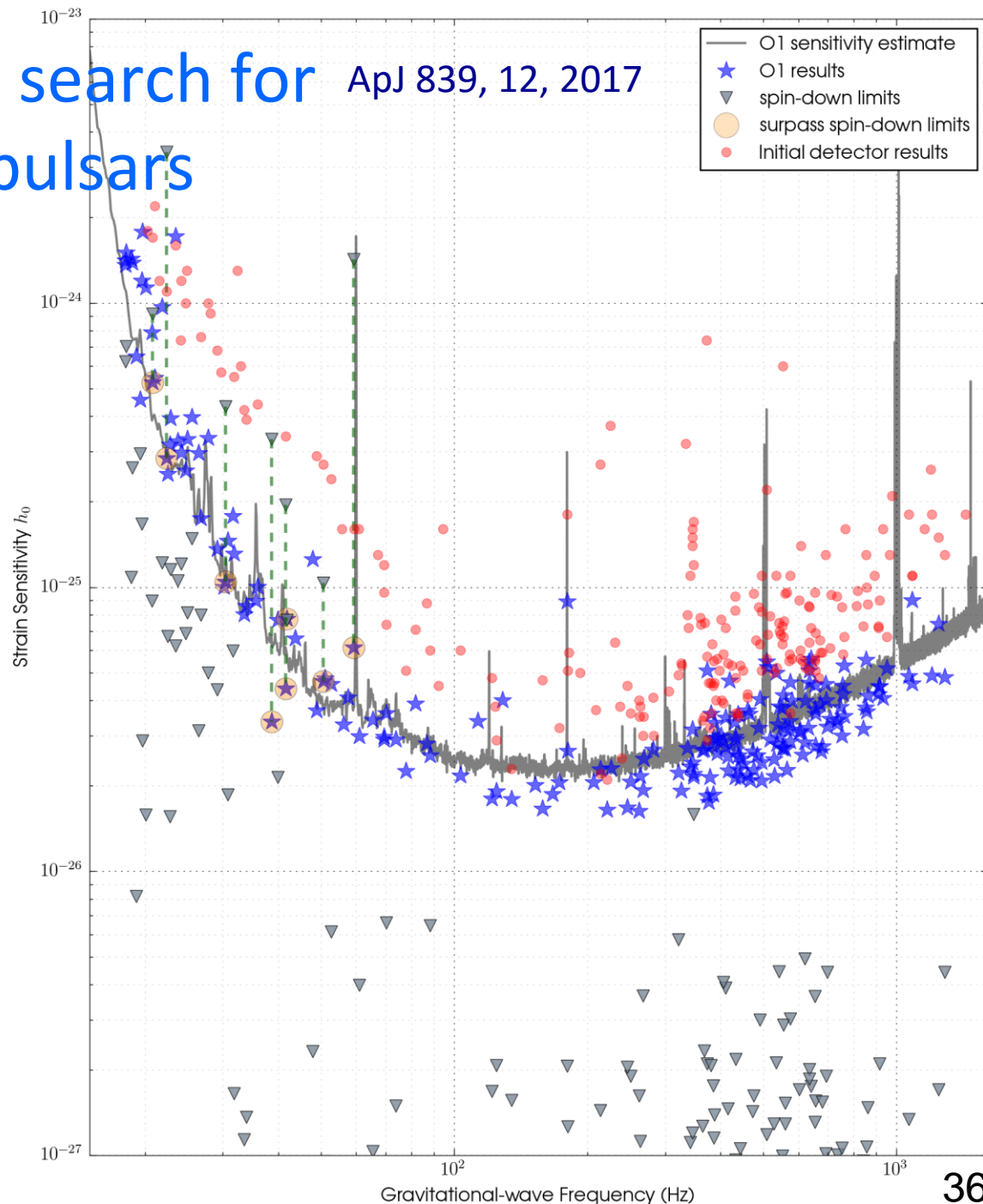


PRL 118, 221101 (2017)

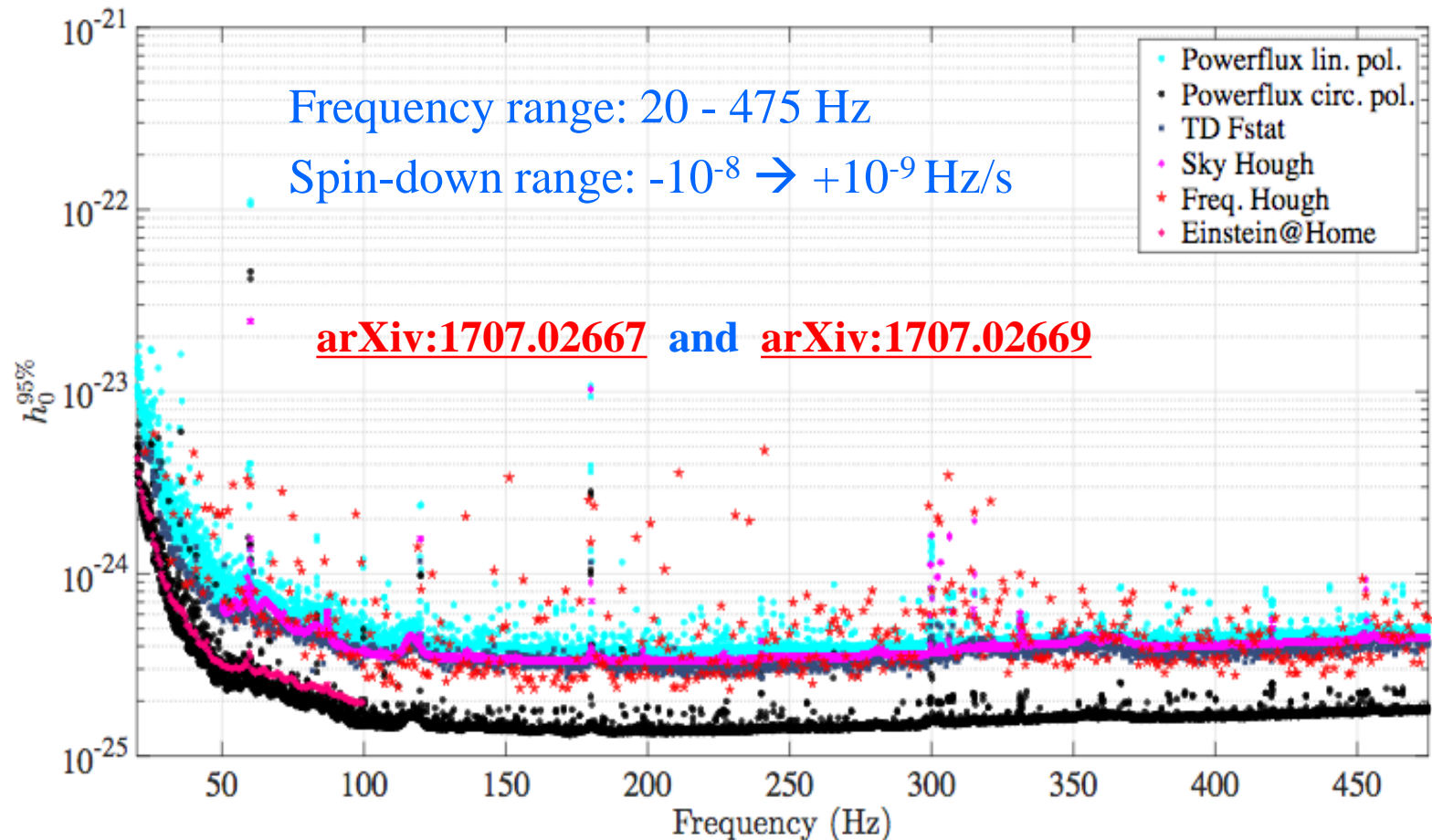
O1 targeted search for known pulsars

ApJ 839, 12, 2017

- ✧ About 430 known pulsars in Advanced LIGO band (~ 20 -2000 Hz)
- ✧ 200 known pulsars analyzed,
- ✧ 11 high-value targets using 3 pipelines: TD Bayesian, TD \mathcal{F}/\mathcal{G} -Stat and FD 5-vector method, rest with the TD Bayesian method.
- ✧ ULs improved by a factor 2.5 w.r.t the Initial LIGO/Virgo results,
- ✧ spindown limit beaten for 8 pulsars, including Crab & Vela:
 - ✧ Crab: less than $2 \times 10^{-3} \dot{E}_{rot}$ in GW, ~ 10 cm deformation
 - ✧ Vela: less than $10^{-2} \dot{E}_{rot}$ ellipticity $\rightarrow \sim 50$ cm
- ✧ PSR J1918-0642: smallest UL $h_0 = 1.6 \times 10^{-26}$.



Highlights on O1 all-sky searches



No candidate survived the follow-up

Significant improvement in the ULs with respect to past analyses ($> 3\times$)

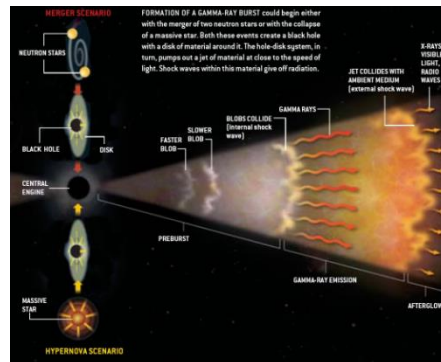
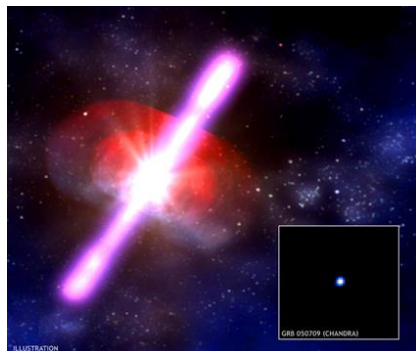
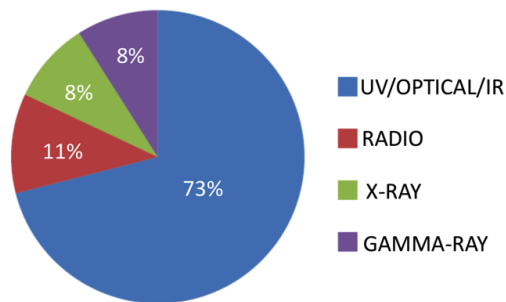
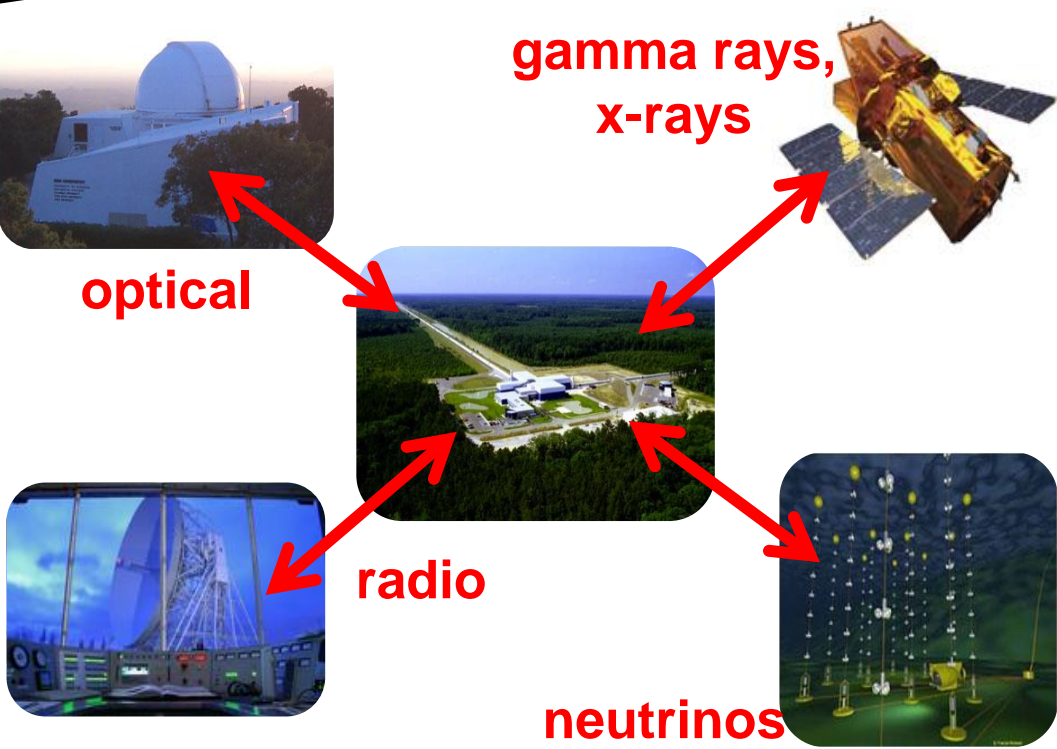
We can exclude the existence of neutron stars with $\epsilon > 10^{-5}$, spinning at a frequency larger than ~ 200 Hz, within 1 kpc from the Earth

Astrofísica de multimensajeros

Unos 92 socios de 19 países.

200 instrumentos cubriendo todo el espectro electromagnético desde las frecuencias ultra bajas de las ondas de radio a las más altas de los rayos gamma.

Ha habido importantes aportaciones de los grupos españoles que forman parte de **INTEGRAL, AGILE, Fermi-LAT, Vinrouge, Master, ePESSTO, TOROS, Red Global BOOTES, HAWC, Pierre Auger, ANTARES, EURO VLBI**, entre otros.



GRB 170817A y GW170817:

El albor de la astrofísica de multimensajeros con ondas gravitacionales y electromagnéticas.

Observación de ondas gravitacionales procedentes de la fusión de dos estrellas de neutrones, estallido de rayos gamma de corta duración y una kilonova.

Fermi



Gamma rays, 50 to 300 keV

GRB 170817A

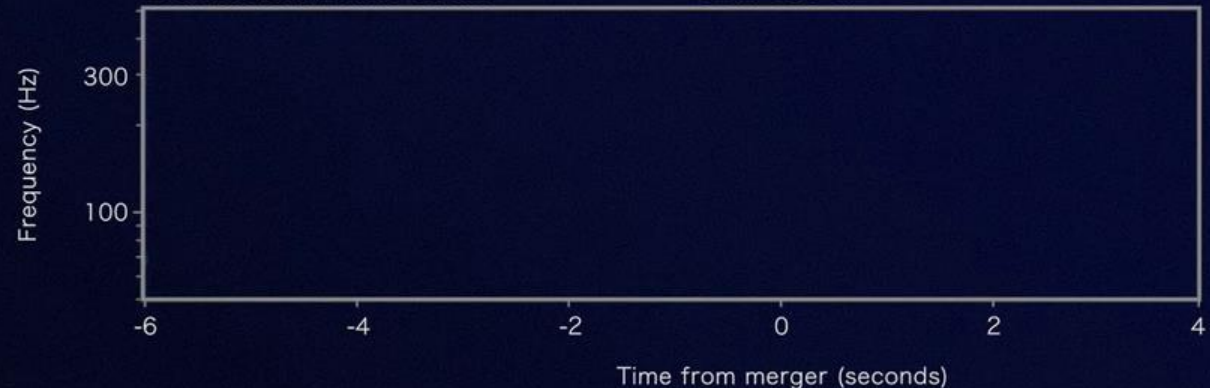


LIGO



Gravitational-wave strain

GW170817



17 agosto 2017 a las 14:41 CEST

- Fermi-GBM emite una alerta a las 12:41:20 UTC sobre GRB170817A
- 6 minutos más tarde, los análisis automáticos de LIGO-Virgo registran la señal GW170817 encontrada en los datos de LIGO Hanford.
- La señal era consistente con una fusión de dos estrellas de neutrones a las 12:41:04 UTC, unos 2s antes que GRB170817A.
- LIGO-Virgo inspeccionó manualmente los datos y emitió una alerta a las 13:21:42 UTC sobre la fusión de dos estrellas de neutrones asociada a GRB170817A
- En los minutos siguientes empieza una extensa campaña de observación.

GW170817

Fusión de una binaria de estrellas de neutrones

Una detección de onda gravitacional de LIGO / Virgo con eventos electromagnéticos asociados que han sido observados por más de 70 observatorios.



Distancia
130 millones de años luz

Descubierto
17 Agosto 2017

Tipo
Fusión de estrellas de neutrones



12:41:04 UTC

Una onda gravitacional procedente de una fusión de una binaria de estrellas de neutrones ha sido detectada.

Señal de onda gravitacional

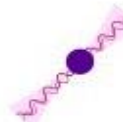
Dos estrellas de neutrones, cada una del tamaño de una ciudad pero con al menos la masa del Sol, colisionaron entre sí.



GW170817 nos permite medir directamente el ritmo de expansión del universo usando ondas gravitacionales por primera vez.



Detectar ondas gravitacionales procedentes de una fusión de estrellas de neutrones nos permite conocer más sobre la estructura de estos inusuales objetos.



Este evento multi-mensajero proporciona una confirmación de que las fusiones de estrellas de neutrones pueden producir estallidos cortos de rayos gamma.



La observación de una kilonova nos permite mostrar que las fusiones de estrellas de neutrones podrían ser las responsables de la producción de la mayoría de elementos pesados, como el oro, en el universo.



Observar tanto ondas electromagnéticas como gravitacionales procedentes del evento aporta evidencias de que las ondas gravitacionales viajan a la misma velocidad que la luz.

Estallido de rayos gamma

Un estallido corto de rayos gamma es un haz intenso de radiación de rayos gamma que es producido justo después de la fusión.

+ 2 segundos

Un estallido de rayos gamma es detectado.



+10 horas 52 minutos

Una nueva fuente de luz óptica es detectada en la galaxia llamada NGC 4993, en la constelación de Hidra.

Kilonova

Desintegración de material rico en neutrones crea una fulgurante kilonova, produciendo metales pesados como oro y platino.

+11 horas 36 minutos

Se observa emisión infrarroja.

+15 horas

Se observa emisión ultravioleta.

+9 días

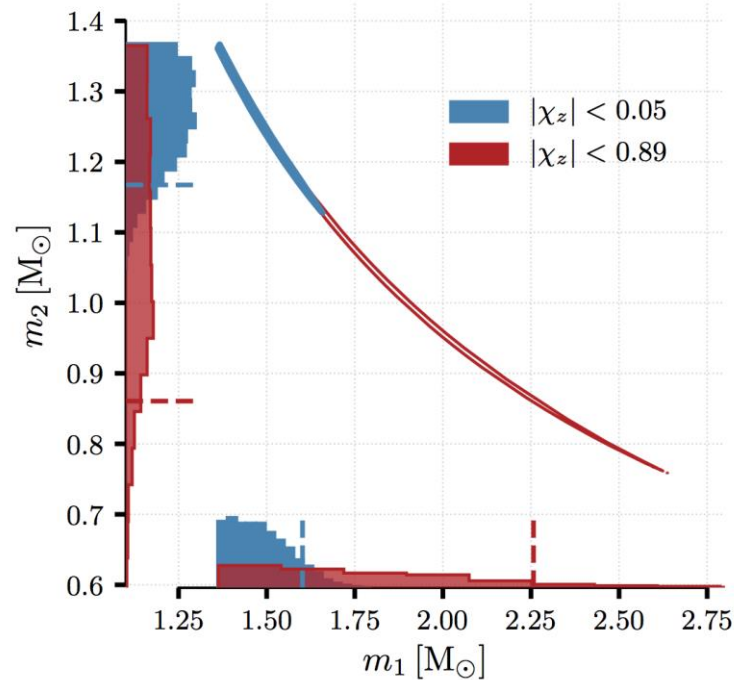
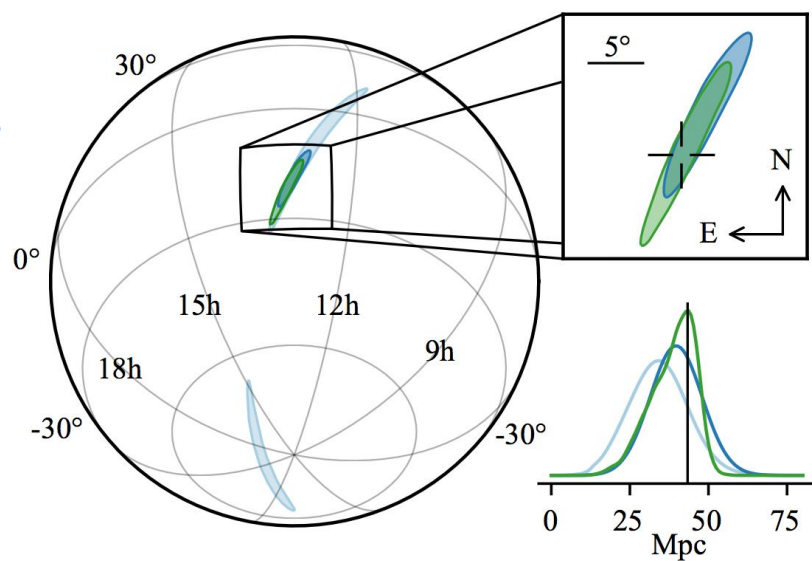
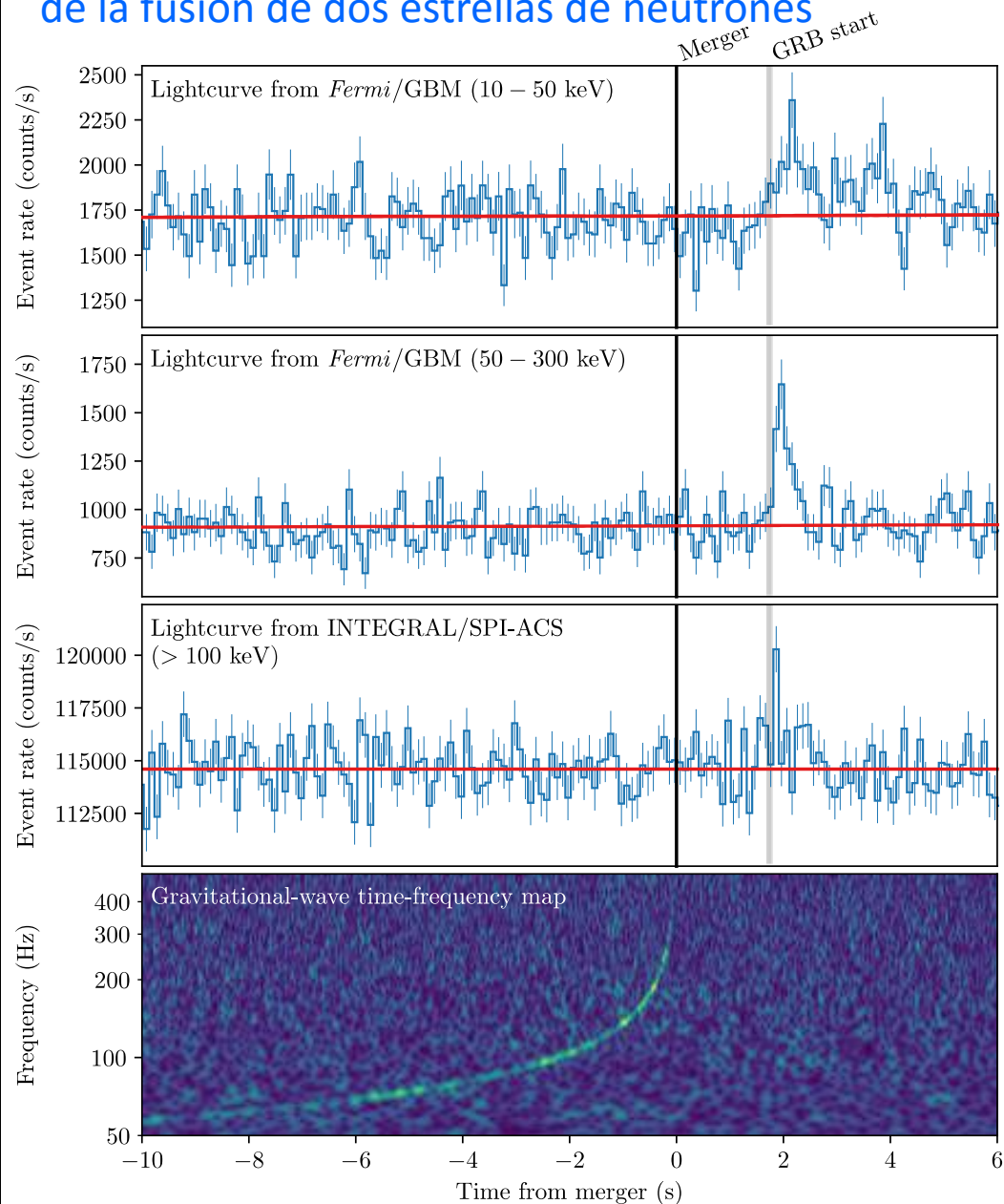
Se observa emisión en rayos X.

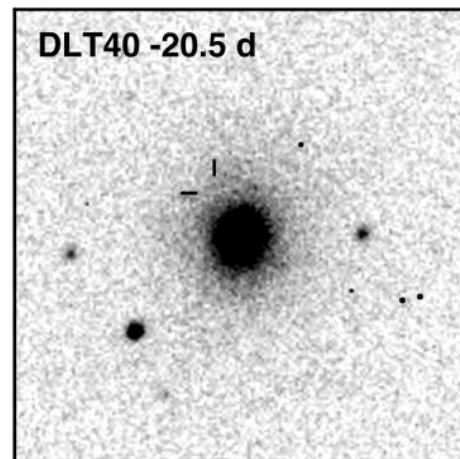
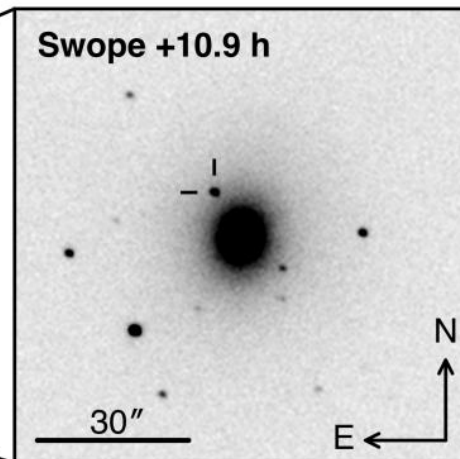
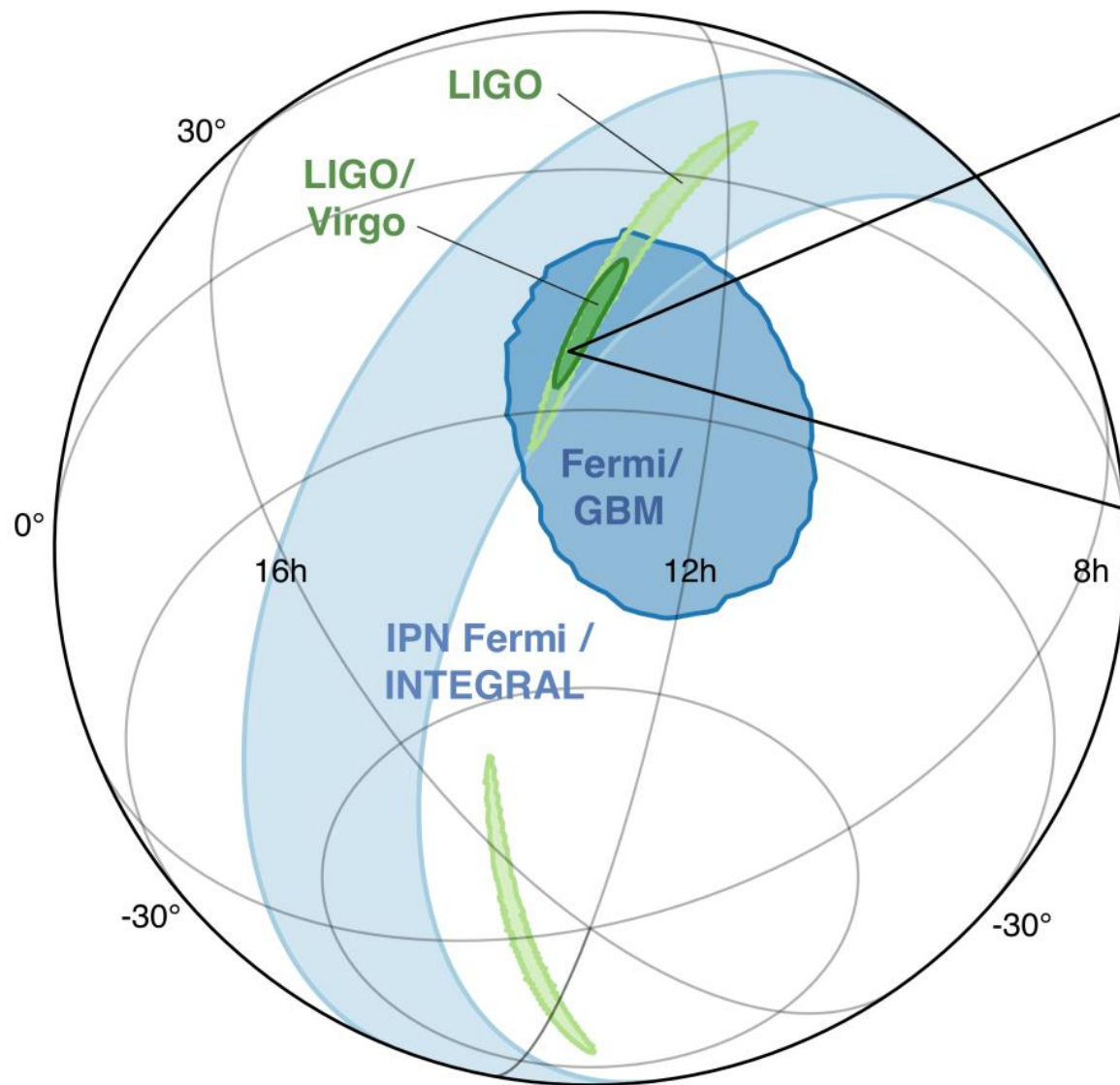
+16 días

Se observa emisión en radio.

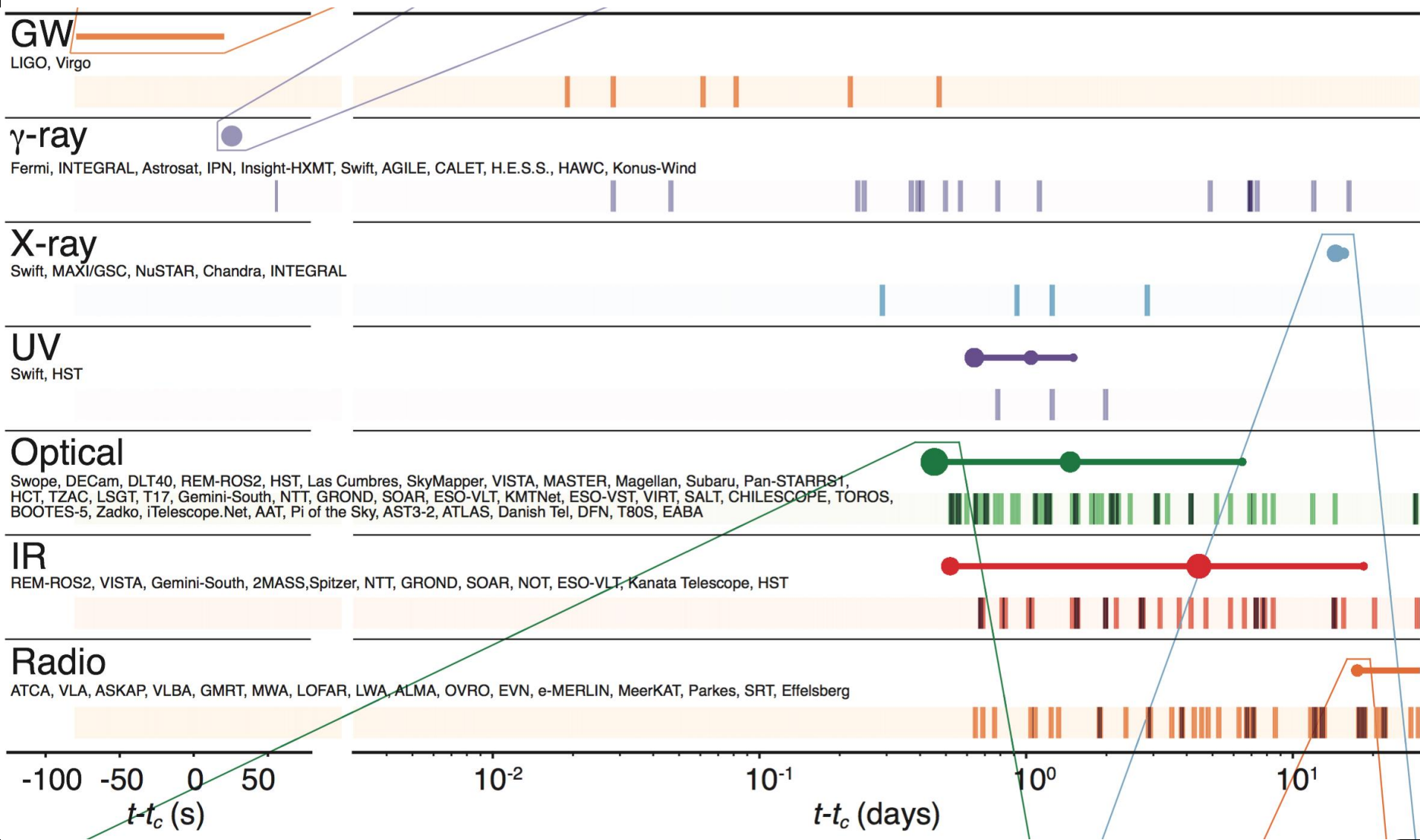
GW170817:

1ª observación de ondas gravitacionales procedentes de la fusión de dos estrellas de neutrones

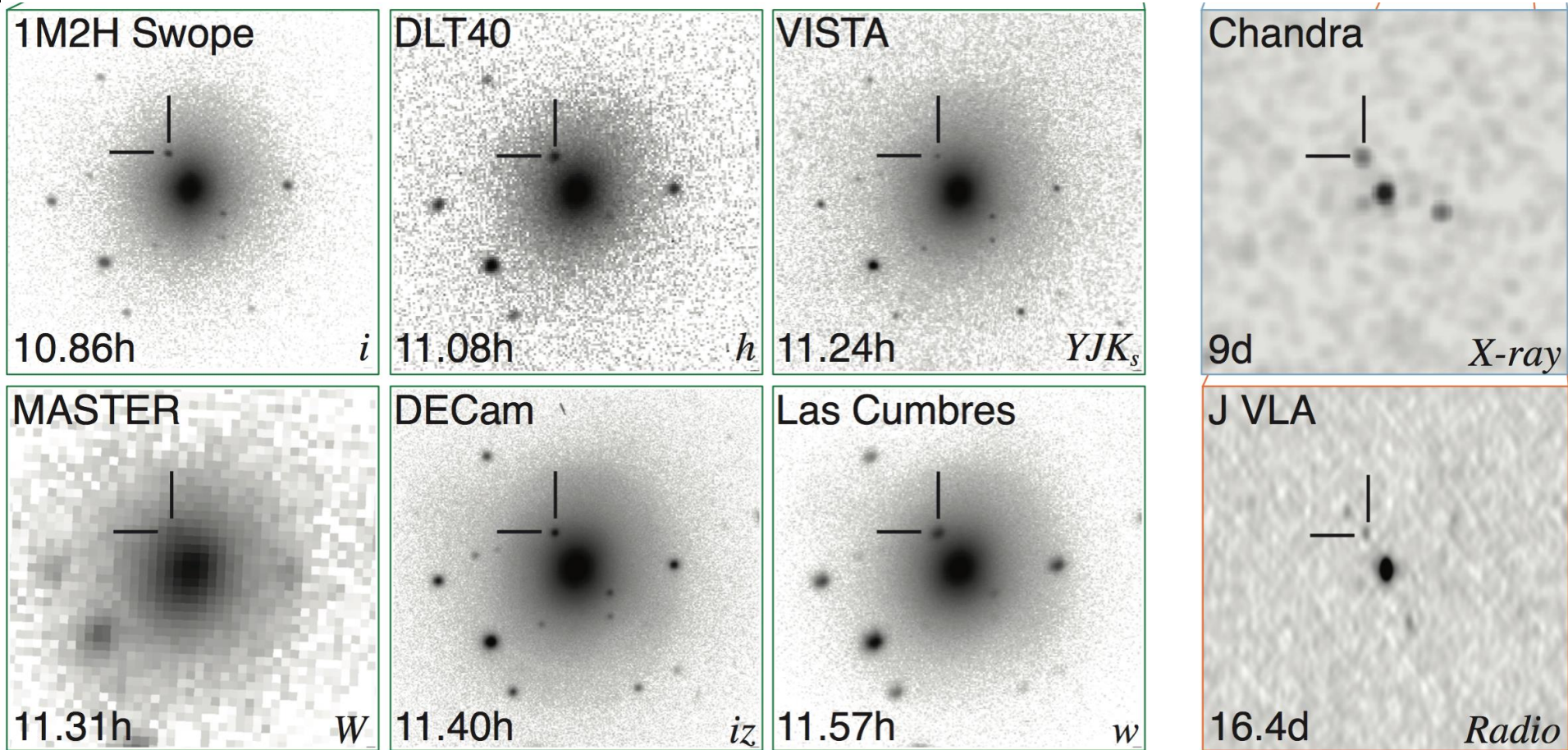




Cronograma de seguimiento



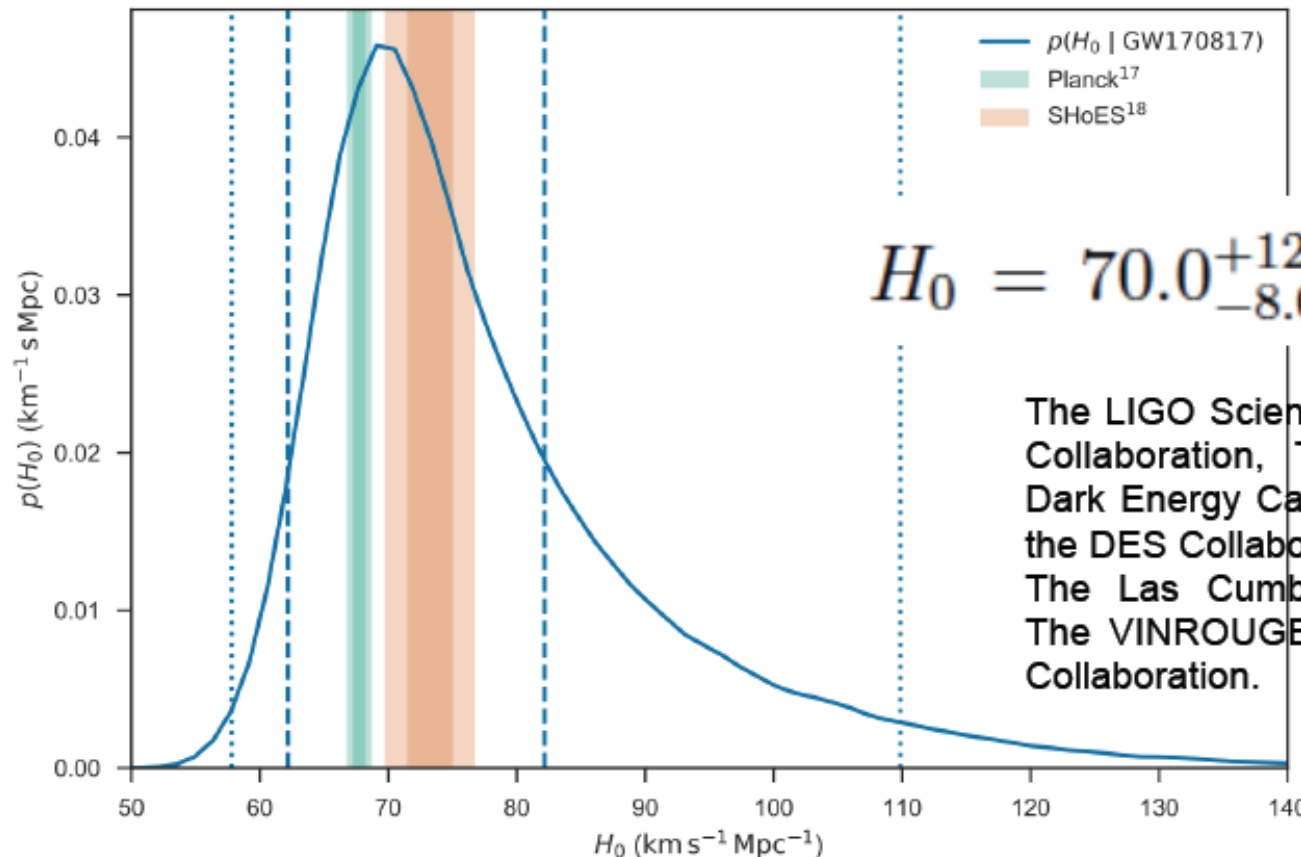
En las primeras horas de oscuridad en Chile, el telescopio Swope identificó una señal transitoria en la banda óptica (SSS17a) en la galaxia NGC 4993. Durante las dos semanas siguientes, una red de telescopios terrestres y observatorios espaciales prosiguieron las detecciones iniciales.



GW170817: inicio de la cosmología de GW

GW170817 puede usarse como una “**sirena estándar**”: combinando la **distancia** (inferida de la señal gravitacional) con la **velocidad** de recesión de la fuente (corrimiento al rojo; inferida de la señal electromagnética) se determina la **constante de Hubble**.

$$v_H = H_0 d$$

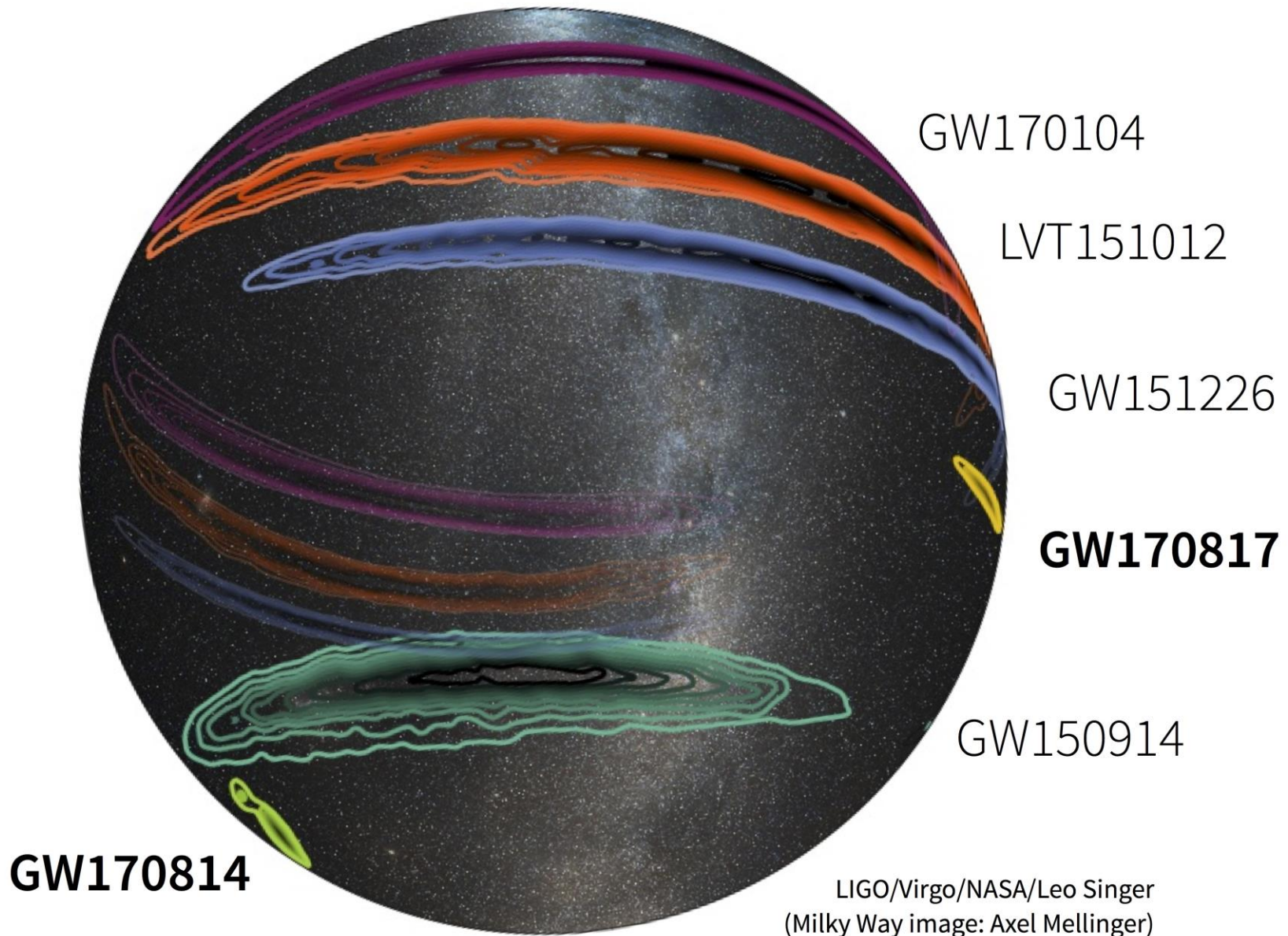


$$H_0 = 70.0^{+12.0}_{-8.0} \text{ km s}^{-1} \text{ Mpc}^{-1}$$

The LIGO Scientific Collaboration and The Virgo Collaboration, The 1M2H Collaboration, The Dark Energy Camera GW-EM Collaboration and the DES Collaboration, The DLT40 Collaboration, The Las Cumbres Observatory Collaboration, The VINROUGE Collaboration & The MASTER Collaboration.

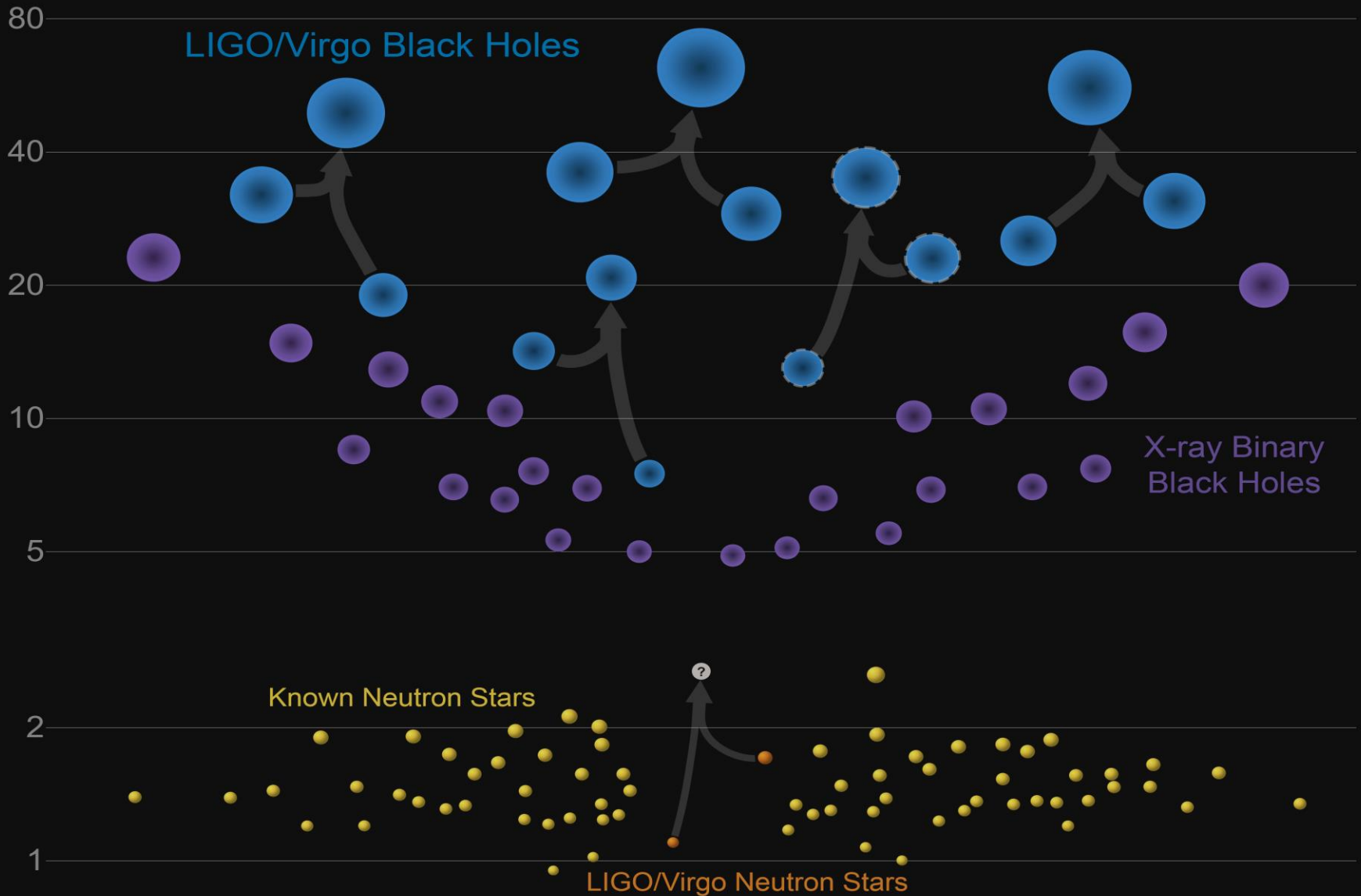
Nature (2017)

Localización de las fuentes en O1 y O2

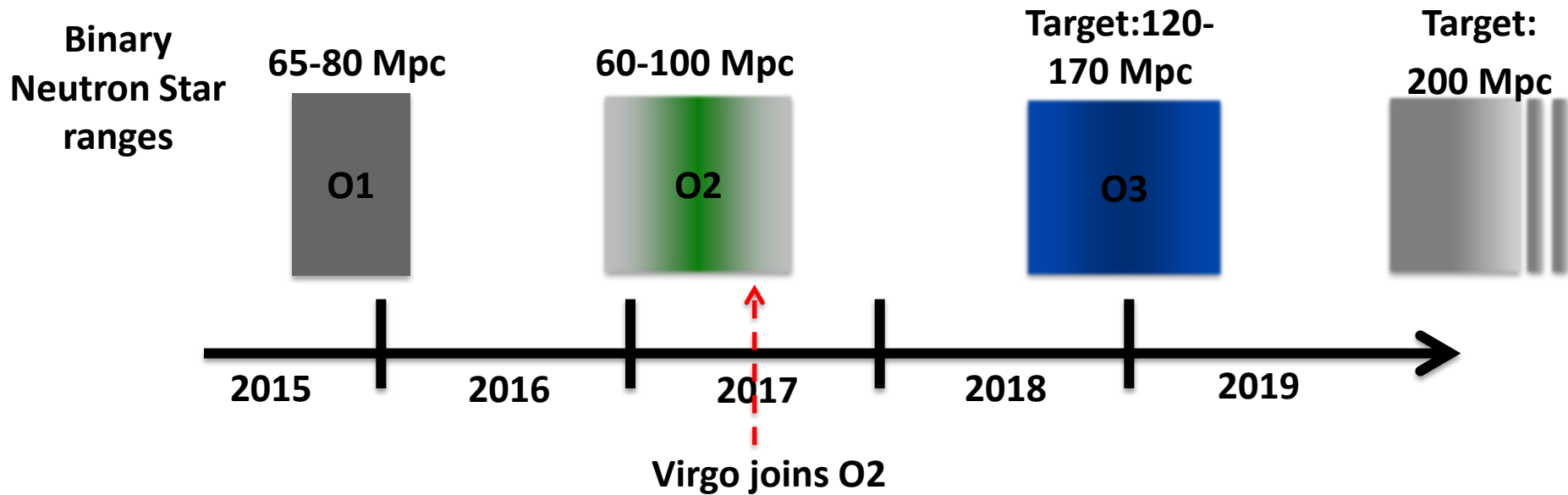


Masas en el “cementerio estelar”

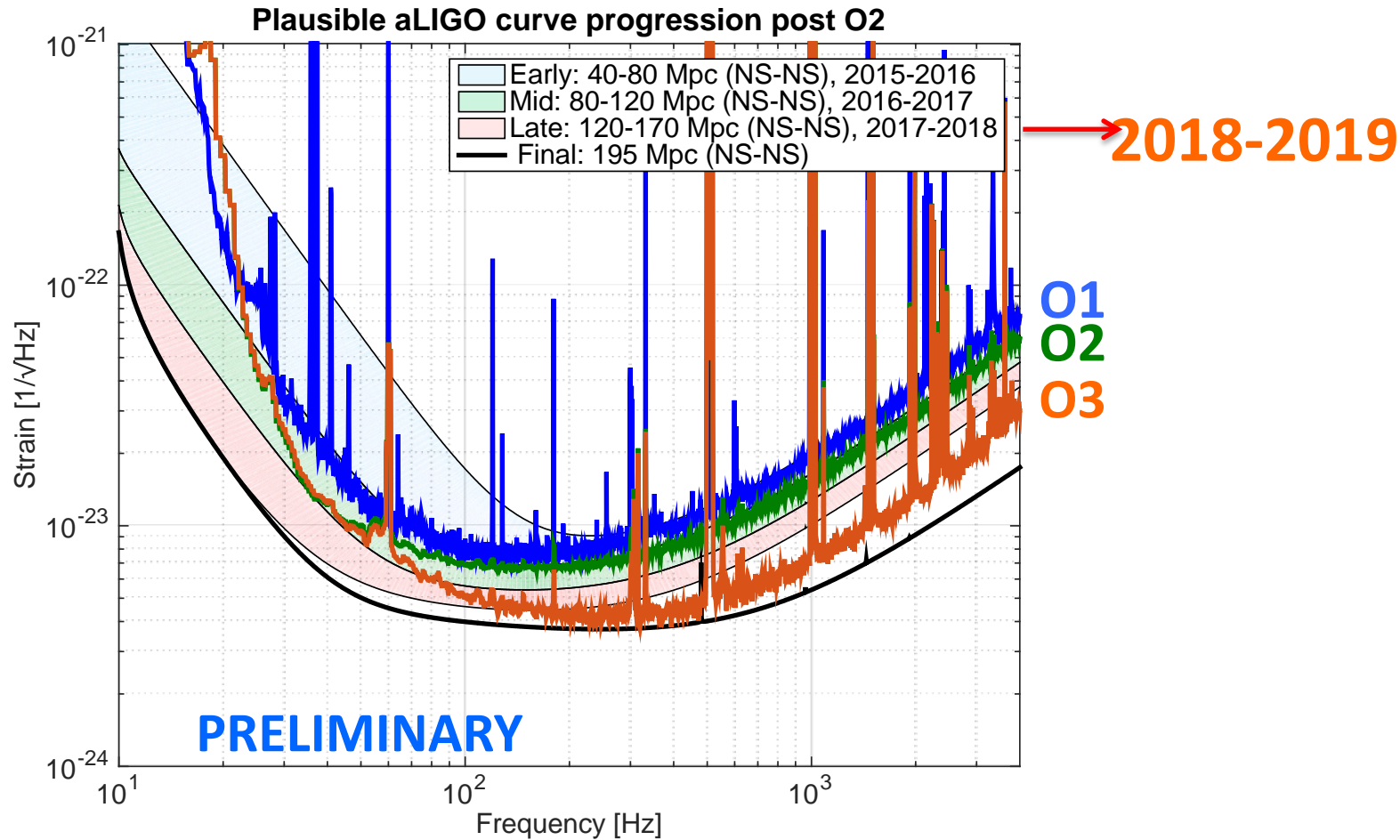
in Solar Masses



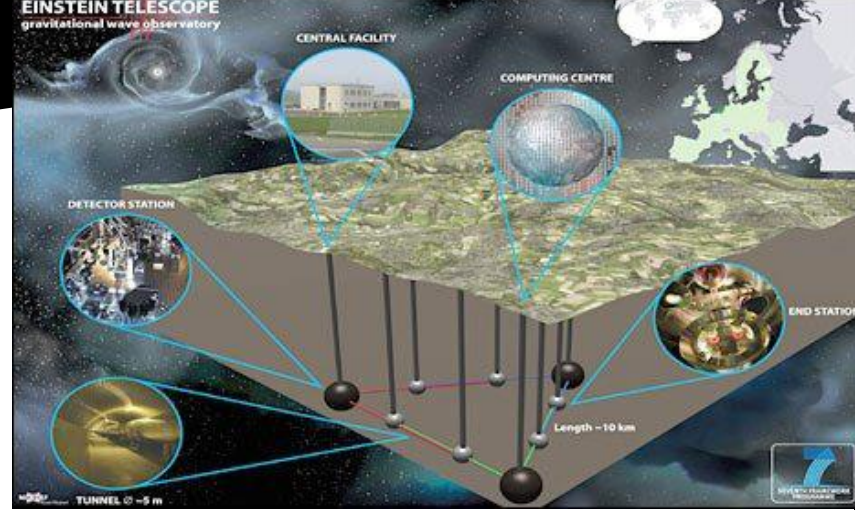
Plausible Observing Run Timeline (still under development within the LIGO and Virgo Collaborations)



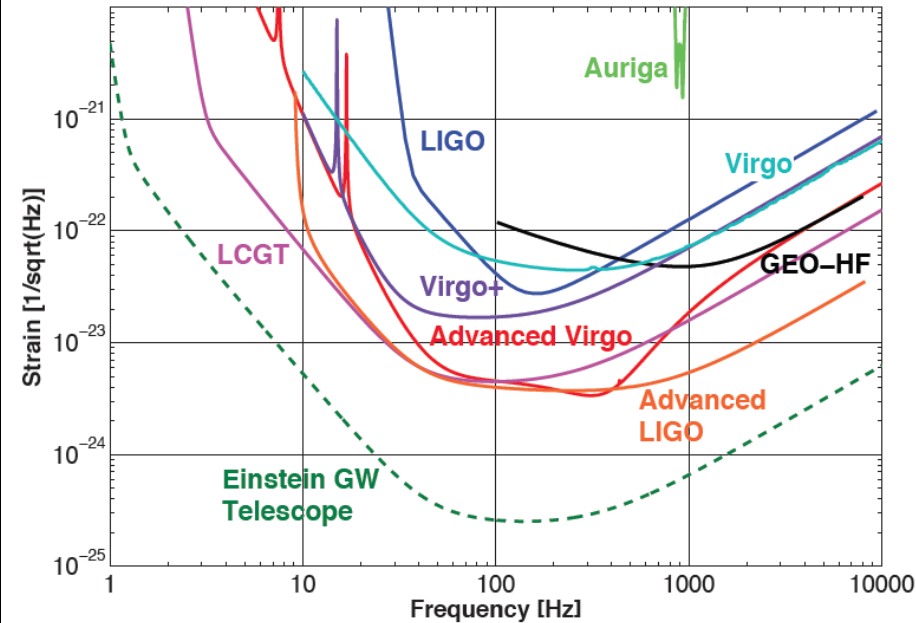
O3 projection with higher laser power and squeezing



Einstein Telescope



Expected ET Sensitivity



- Conceptual design study funded by EU-FP7:
 - Multiple interferometers, 10 km arm length, arranged in triangular configuration, cryogenic, underground
 - Assuming technologies one should be able to achieve in 10-15 years
- ET will test the Einstein's gravity in strong field condition and will be able to realize precision gravitational wave astronomy.

UIB and IEEC members are included in the Einstein Telescope Science Team

Source	BNS	NS-BH	BBH
Rate ($\text{Mpc}^{-1} \text{Myr}^{-1}$)	0.1–6	0.01–0.3	2×10^{-3} –0.04
Event Rate (yr^{-1}) in aLIGO	0.4–400	0.2–300	2–4000
Event Rate (yr^{-1}) in ET	$\mathcal{O}(10^3\text{--}10^7)$	$\mathcal{O}(10^3\text{--}10^7)$	$\mathcal{O}(10^4\text{--}10^8)$

¿Qué esperamos aprender de la observación de las ondas gravitacionales ?

Astrofísica:

- ¿Cuán abundante son los agujeros negros de masa estelar?
- ¿Cuál es el mecanismo que genera explosiones de rayos gamma?
- ¿Cuáles son las condiciones en los núcleos de las galaxias dominadas por enormes agujeros negros?
- ¿Dónde y cuándo se forman los agujeros negros masivos, y qué papel juegan en la formación de las galaxias?
- ¿Qué sucede cuando colapsa una estrella masiva?
- ¿Cómo se forman y evolucionan los sistemas de estrellas binarias, y cuál ha sido su efecto sobre las tasas de formación de estrellas?
- Ecuación de estado de estrellas de neutrones y su estructura
- Astrofísica de la radiación de fondo estocástica.
- Descubrir nuevos objetos y fenómenos

Física Fundamental

- ¿Cuáles son las propiedades de las ondas gravitacionales?
- Confirmar la velocidad de las ondas gravitacionales, acotar la masa del gravitón
- ¿Sigue siendo válida la relatividad general bajo condiciones de gravedad fuerte?
- ¿Son los agujeros negros de la naturaleza de los agujeros negros de la Relatividad General? Estudiar el espacio-tiempo cerca del horizonte de los agujeros negros.
- ¿Cómo se comporta la materia en condiciones extremas de densidad y presión?

Cosmología

- ¿Cuál es la historia de la expansión acelerada del Universo?
- ¿Hubo transiciones de fase en el Universo temprano? ¿Qué sabemos de la inflación?

Conclusiones

- El nacimiento de una nueva era en Astronomía
 - Primeros resultados observacionales
 - Varias búsquedas en curso con los datos LIGO O1 y O2
- O2 concluyó el 25 de agosto de 2017
 - La sensibilidad respecto O1 no mejoró tanto como se esperaba pero se identificaron pasos a seguir
- Hay muchas actividades planeadas durante este periodo de mejoras post-O2 y puesta en marcha que durará sobre 1 año
- Se espera una mejora significativa de la sensibilidad para O3 que permitirá detectar muchas señales más.

Thanks!!!



GOVERN
ILLES
BALEARIS



G VICEPRESIDÈNCIA
O I CONSELLERIA
I INNOVACIÓ,
B RECERCA I TURISME



GOBIERNO
DE ESPAÑA

MINISTERIO
DE ECONOMÍA
Y COMPETITIVIDAD